

本講習の目的

- 1CPU用シリアルアプリケーションの並列化(Flat MPI)
 - 並列分散データ構造の重要性
- 並列アプリケーションを使用したシミュレーションの手順を一通り体験する
 - データ生成(初期データ, 領域分割)
 - 計算
 - ポスト処理
- 対象
 - 有限体積法(または直接差分法)による熱伝導解析コード
 - 共役勾配法(CG法)による連立一次方程式求解

MPIによる並列アプリケーション開発法入門(I)

2010年5月13日・14日

中島研吾
東京大学情報基盤センター

T2Kオープンスパコン(東大)並列プログラミング講習会(試行)

中島研吾の紹介

- 所属
 - 東京大学情報基盤センター
 - スーパーコンピューティング研究部門
- 専門分野
 - 計算力学
 - (並列)数値線形代数
 - 並列計算プログラミングモデル
 - (並列)適応格子
- これまで関わったプロジェクト
 - GeoFEM: 地球シミュレータ関連, 並列有限要素法
 - HPC-MW: 戦略的基盤ソフトウェア
- お気軽に質問ください
 - nakajima(at)cc.u-tokyo.ac.jp

スケジュール (予定)

- 5月13日(木): 1300~1730
 - T2Kオープンスパコン(東大)へのログイン
 - 並列アプリケーション開発入門(I)
 - 並列プログラミングの学び方
 - 有限体積法
 - 1CPU用計算プログラム `eps_fvm`
- 並列アプリケーション開発入門(II)
 - MPI超入門
 - 並列分散メッシュデータ
- 5月14日(金): 1000~1200
 - 並列アプリケーション開発入門(II)(続き)
 - 並列分散メッシュデータ(続き)
 - 領域分割
- 5月14日(金): 1300~1700
 - 並列アプリケーション開発入門(III)
 - 並列FVMコードの開発
 - 実習

謝 辞

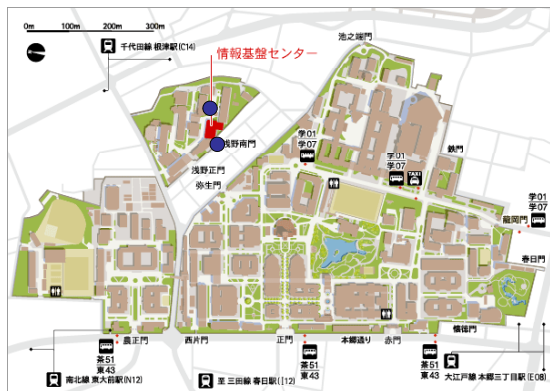
- 株式会社 ケイ・ジー・ティー

準備(Windows)

- T2Kへのログイン
- WinSCP等インストール
- MicroAVSインストール

注意等

- 講義室内では飲食厳禁です。今後のこともありますのでご理解、ご協力のほどをお願いいたします。
 - 自動販売機は工学部12号館前、武田先端知ビル内。
- アンケートにご協力ください。



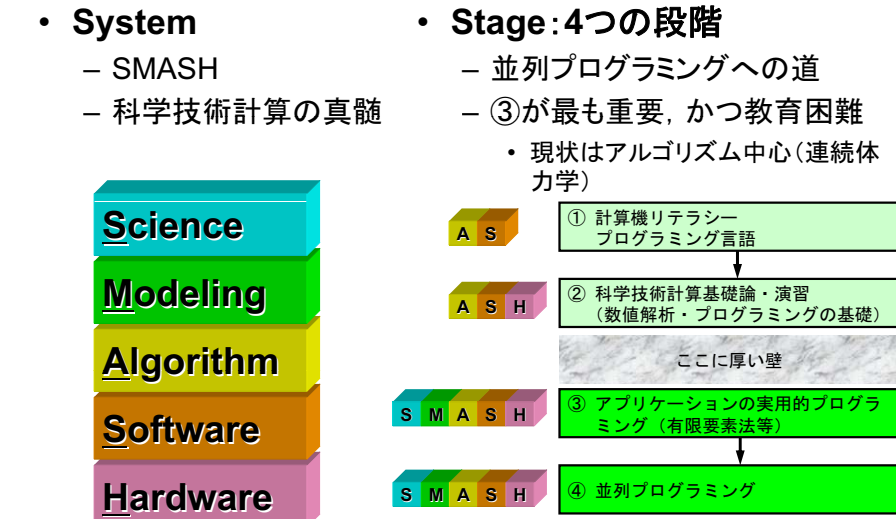
- 背景:並列プログラミングの学び方
- 有限体積法の概要
- 1CPU用プログラム `eps_fvm`
 - メッシュ生成、形状データ
 - 計算実行例
 - プログラムの内容

背景

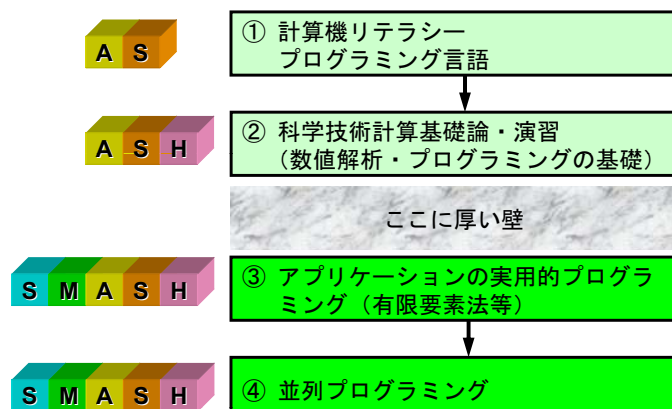
- 「T2Kオープンスパコン」、「次世代スーパーコンピュータ」等の開発を背景に、大規模並列シミュレーションへの期待は、産学において一層高まっている。
- 並列計算機を使いこなすためには、「並列プログラミング」の習得が必須である。
 - 並列計算機を使いこなす、アプリーション分野の研究者、技術者の育成

4S型人材育成戦略

「4つのS」: System, Stage, Status, Style(1/2)



並列プログラミングへの道



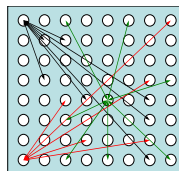
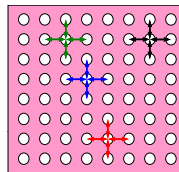
- ③が重要であるが、プログラミング教育はほとんど実施されていない

③(実用プログラミング)を学ぶには?

- プログラミング能力をつけるためには、徹底して実アプリケーションコードのソースを「読む」能力をつけることが重要(特に学部4年～大学院初級)
 - 英語、漢文の音読のごとく
- 並列計算で大事なのはMPI等の文法ではなく、並列データ構造等の設計。対象アプリケーション、アルゴリズムに対する深い理解が必要⇒③が重要
- これまでの経験で効果は確認済

科学技術アプリケーション

- 局所的手法
 - 差分法, 有限要素法, 有限体積法
 - 疎行列
- 大域的手法
 - 境界要素法, スペクトル法等
 - 密行列



本講習の方針

- まずは1CPU用のシリアルアプリケーションコードを徹底理解
 - アルゴリズムのやさしい有限体積法を選択
 - 熱伝導方程式
- アプリケーションに適した並列計算のためのデータ構造 (=局所分散データ構造)を考える
- 慣れているFORTRANで解説していますが, C言語版のアプリケーションも準備, ほとんど各行解説するので, 余り支障は無いでしょう
- MPIそのものについてはあまり詳しく説明しません。MPI入門向け講習会は年2~3回程度実施されています。

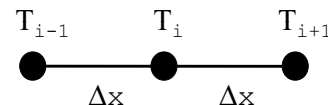
- 背景: 並列プログラミングの学び方
- **有限体積法の概要**
- 1CPU用プログラム **eps_fvm**
 - メッシュ生成, 形状データ
 - 計算実行例
 - プログラムの内容

対象とするアプリケーションの概要

- 支配方程式: 三次元定常熱伝導方程式
 - 物性の温度依存性無し, 等方性
$$\frac{\partial}{\partial x} \left(\lambda \frac{\partial T}{\partial x} \right) + \frac{\partial}{\partial y} \left(\lambda \frac{\partial T}{\partial y} \right) + \frac{\partial}{\partial z} \left(\lambda \frac{\partial T}{\partial z} \right) + Q = 0$$
- 有限体積法(Finite Volume Method, **FVM**)による空間離散化
 - 任意形状の要素, 要素中心で変数を定義。
 - 直接差分法(Direct Finite Difference Method)とも呼ばれる。
- 境界条件
 - ディリクレ(温度固定), ノイマン(境界熱流束), 体積発熱
- 反復法による連立一次方程式解法
 - 共役勾配法(CG) + 対角スケーリング(点ヤコビ)前処理

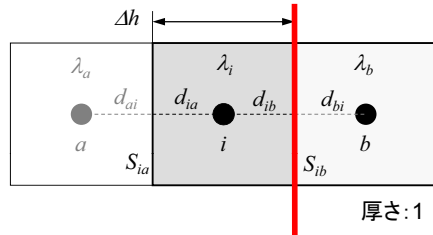
一次元熱伝導方程式: 中央差分 熱伝導率λ一定

$$\frac{d}{dx} \left(\lambda \frac{dT}{dx} \right)_i + Q = 0$$



$$\begin{aligned} \frac{d}{dx} \left(\lambda \frac{dT}{dx} \right)_i &= \frac{\left(\lambda \frac{dT}{dx} \right)_{i+1/2} - \left(\lambda \frac{dT}{dx} \right)_{i-1/2}}{\Delta x} = \frac{\lambda \frac{T_{i+1} - T_i}{\Delta x} - \lambda \frac{T_i - T_{i-1}}{\Delta x}}{\Delta x} \\ &= \lambda \left(\frac{T_{i+1} - 2T_i + T_{i-1}}{\Delta x^2} \right) \end{aligned}$$

一次元差分法との比較(1/3)



一辺の長さ Δh の正方形メッシュ
接触面積: $S_{ik} = \Delta h$
要素体積: $V_i = \Delta h^2$
接触面までの距離: $d_{ij} = \Delta h/2$
各メッシュの熱伝導率: λ_i

この面を通過する熱量: $Q_{S_{ib}}$

$$Q_{S_{ib}} = -\lambda \frac{T_b - T_i}{d_{ib} + d_{bi}} \cdot S_{ib} = -\frac{T_b - T_i}{\frac{d_{ib}}{\lambda} + \frac{d_{bi}}{\lambda}} \cdot S_{ib}$$

$$Q_{S_{ib}} = -\frac{T_b - T_i}{\frac{d_{ib}}{\lambda_i} + \frac{d_{bi}}{\lambda_b}} \cdot S_{ib}$$

熱伝導率が一様の場合
フーリエの法則
面を通過する熱量
= (熱伝導率) × (温度勾配)

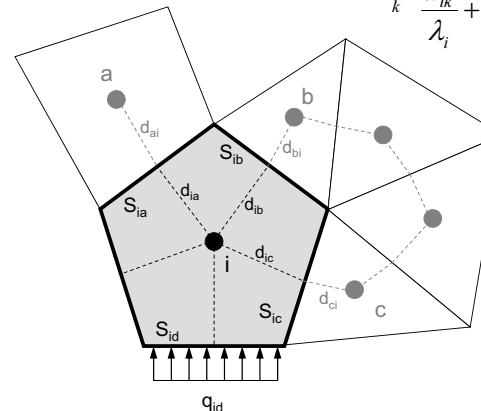
熱伝導率が要素ごとに
異なる場合: 調和平均

有限体積法による空間離散化 熱流束に関するつりあい式

隣接要素との熱伝導

$$\sum_k \frac{S_{ik}}{d_{ik} + d_{ki}} (T_k - T_i) + \sum_d S_{id} \dot{q}_{id} + V_i \dot{Q}_i = 0$$

要素境界面 体積発熱
通過熱流束



λ : 热伝導率

V_i : 要素体積

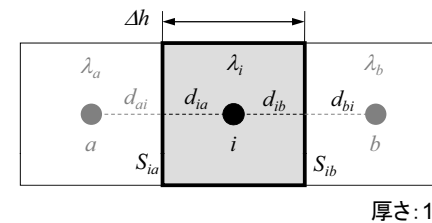
S : 表面面積

d_{ij} : 要素中心から表面までの距離

q : 表面フラックス

Q : 体積発熱

一次元差分法との比較(2/3)



一辺の長さ Δh の正方形メッシュ
接触面積: $S_{ik} = \Delta h$
要素体積: $V_i = \Delta h^2$
接触面までの距離: $d_{ij} = \Delta h/2$
各メッシュの熱伝導率: λ_i

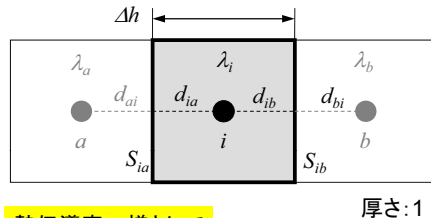
$$\sum_k \frac{S_{ik}}{d_{ik} + d_{ki}} (T_k - T_i) + \sum_d S_{id} \dot{q}_{id} + V_i \dot{Q}_i = 0$$

両辺を V_i で割る:

$$\frac{1}{V_i} \sum_k \frac{S_{ik}}{d_{ik} + d_{ki}} (T_k - T_i) + \frac{1}{V_i} \sum_d S_{id} \dot{q}_{id} + \dot{Q}_i = 0$$

この部分に注目すると

一次元差分法との比較(3/3)



一辺の長さ Δh の正方形メッシュ
 接触面積: $S_{ik} = \Delta h$
 要素体積: $V_i = \Delta h^2$
 接触面までの距離: $d_{ij} = \Delta h/2$
 各メッシュの熱伝導率: λ_i

$$\begin{aligned} \frac{1}{V_i} \sum_k \frac{S_{ik}}{\frac{d_{ik}}{\lambda_i} + \frac{d_{ki}}{\lambda_k}} (T_k - T_i) &= \frac{1}{(\Delta h)^2} \sum_{k=a,b} \frac{\Delta h}{\frac{\Delta h/2}{\lambda} + \frac{\Delta h/2}{\lambda}} (T_k - T_i) \\ &= \frac{1}{(\Delta h)^2} \sum_{k=a,b} \frac{\Delta h}{\frac{\Delta h}{2\lambda} + \frac{\Delta h}{2\lambda}} (T_k - T_i) = \frac{1}{(\Delta h)^2} \sum_{k=a,b} \frac{\Delta h}{\lambda} (T_k - T_i) = \frac{1}{(\Delta h)^2} \sum_{k=a,b} \lambda (T_k - T_i) \\ &= \lambda \cdot \left[\frac{1}{(\Delta h)^2} (T_a - T_i) + \frac{1}{(\Delta h)^2} (T_b - T_i) \right] = \lambda \cdot \boxed{\left[\frac{T_a - 2T_i + T_b}{(\Delta h)^2} \right]} \end{aligned}$$

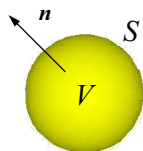
有限体積法

- セル中心型有限体積法
 - 「直接差分法」
 - ガウスグリーン型有限体積法
- 任意形状の要素を扱うことが可能
 - 均等メッシュでない場合は空間について一次精度
- 各要素の体積、要素間の接続関係(接触面積、重心(本当は「外心」)から接触面への距離)などを予め指定する必要があるため、メッシュ作成は多少面倒
- 境界面、ディリクレ境界条件(温度固定)の扱いが問題

ガウスの定理: Gauss's Theorem

$$\int_V \left(\frac{\partial U}{\partial x} + \frac{\partial V}{\partial y} + \frac{\partial W}{\partial z} \right) dV = \int_S (U n_x + V n_y + W n_z) dS$$

- 三次元デカルト座標(x, y, z)
- 滑らかな閉曲面 S によって囲まれた V
- V 内で定義される、3つの連続関数
 - $U(x, y, z), V(x, y, z), W(x, y, z)$
- 曲面 S 上で外向きに引いた法線ベクトル n
 - n_x, n_y, n_z : 方向余弦



ベクトル表記すると

- ガウスの定理

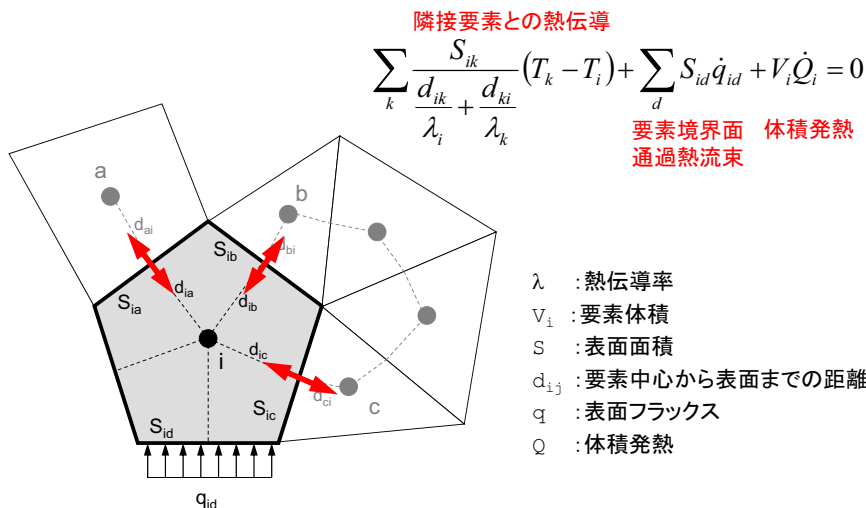
$$\int_V \nabla \cdot \mathbf{w} dV = \int_S \mathbf{w}^T \mathbf{n} dS$$

- グリーンの定理

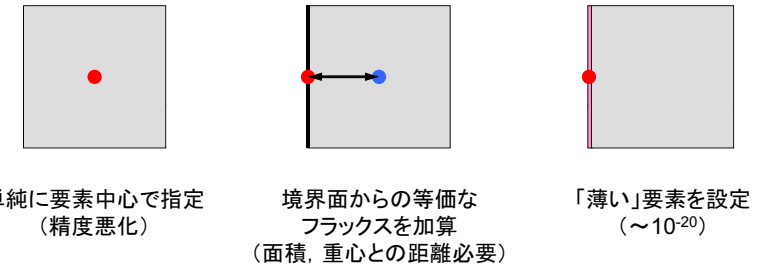
$$\int_V v \Delta u dV = \int_S (v \nabla u)^T \mathbf{n} dS - \int_V (\nabla^T v) (\nabla u) dV$$

有限体積法による空間離散化

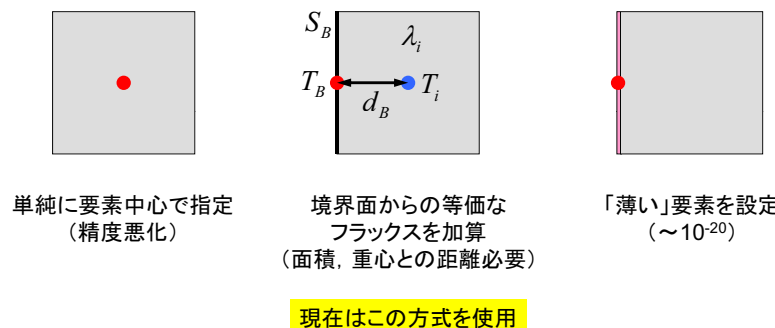
各要素の境界面を通過する熱量に着目



ディリクレ境界条件(境界温度固定)



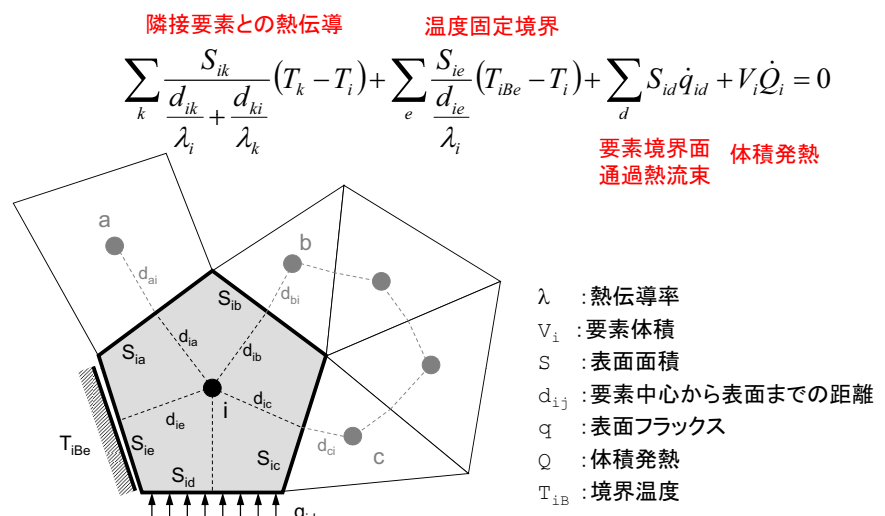
ディリクレ境界条件(境界温度固定)



$$q = \frac{S_B}{d_B / \lambda_i} (T_B - T_i)$$

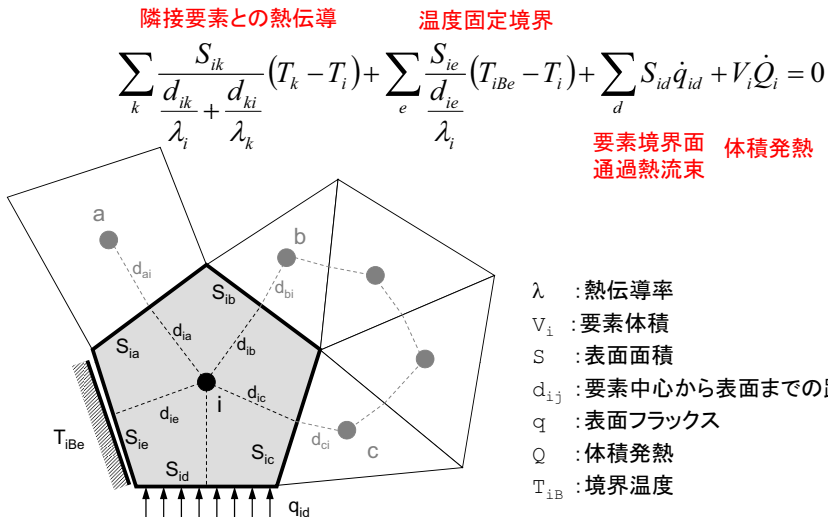
有限体積法による空間離散化

熱流束に関するつりあい式: ディリクレ境界条件考慮



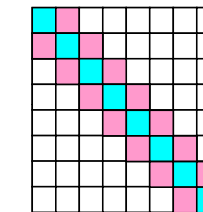
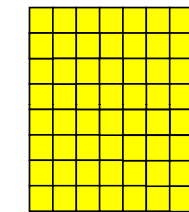
有限体積法による空間離散化

隣接している要素の影響のみ受ける



係数行列は疎行列 (Sparse Matrix)

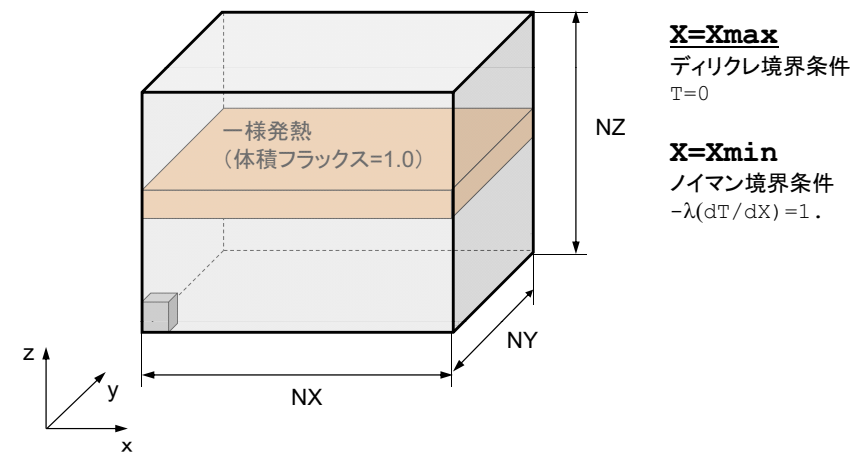
- 0が多い
- 通常「数値解析」などで扱うのは「密行列」
- 非ゼロ成分のみを記憶する方法
 - Compressed Row Storage, CRS(後述)
- 密行列と比較して取り扱いが困難



現行コードにおける制限

- 要素形状は六面体のみ。
 - 各要素は各辺長さ1の立方体
 - 全体形状、境界条件等はメッシュジェネレータで規定
- 隣接要素数は要素各面に接する6面までとする。
 - プログラムを変更すれば増やすことは可能
- 境界条件
 - ディリクレ境界条件
 - ノイマン境界条件(面フラックス)
 - 体積発熱
- 要素番号は1から始まって連続していなければならない。

現在対象としている形状、境界条件
プログラムでは、後掲のデータ形式に従えば、任意の
形状を扱うことができる



- 背景:並列プログラミングの学び方
- 有限体積法の概要
- **1CPU用プログラム eps_fvm**
 - メッシュ生成、形状データ
 - 計算実行例
 - プログラムの内容

T2Kで利用できるコンパイラ

- 日立コンパイラ(デフォルト)
- Intel
- PGI
- GNU
- 本講義では「日立コンパイラ」を使用する
 - mpif90 -Oss -noparallel s1-3.f
 - mpicc -Os -noparallel s1-3.c

ファイルシステム(1/2)

- **/home**
 - 各コースの制限値まで利用可能(クラス全体で4TB)
 - バックアップなし
 - 全ノードで共有
- **/short**
 - 容量無制限
 - 最終アクセスから5日で消える
 - 全ノードで共有
- **/tmp**
 - ノードあたり 140GB
 - ノードローカル
 - バッチジョブ終了時に消える

ファイルシステム(2/2)

- 分散ファイルシステム HSFS
 - 全ノードで共有するファイルシステムにはHSFSが使われている
 - 16台のファイルサーバに負荷分散
 - ユーザーには単一のディレクトリツリーが見える
 - ファイルストライプモード
 - ファイル単位で処理するサーバを割り当てる
 - 同じファイルに多数のノードからアクセスすると破綻する
- 現在はLustreも使えます:速いです
 - **/lustre/username**

必要ファイルインストール:T2K

```
Lustreを使いたければ下記へ移動
$> cd /lustre/t009xx (自分のUID)
```

FORTRAN

```
$> cp /home/t00000/fvm-f.tar .
$> tar xvf fvm-f.tar
```

C

```
$> cp /home/t00000/fvm-c.tar .
$> tar xvf fvm-c.tar
```

それぞれ直下に fvm-f, fvm-c というディレクトリができます。
これらを今後

<\$FVM>

と呼びます。

.bash_profile

```
$> cd
*****
$> cp /home/t00000/.bash_profile .
```

または ~/.bash_profileに以下の2行を挿入

```
PATH="$PATH":/home/h08000/bin
export PATH
```

```
*****
$> source .bash_profile
$> printenv
```

PATHに以下が入っていることを確認

home/h08000/bin

次回からはログイン時に自動的に起動

メッシュ生成からやってみよう

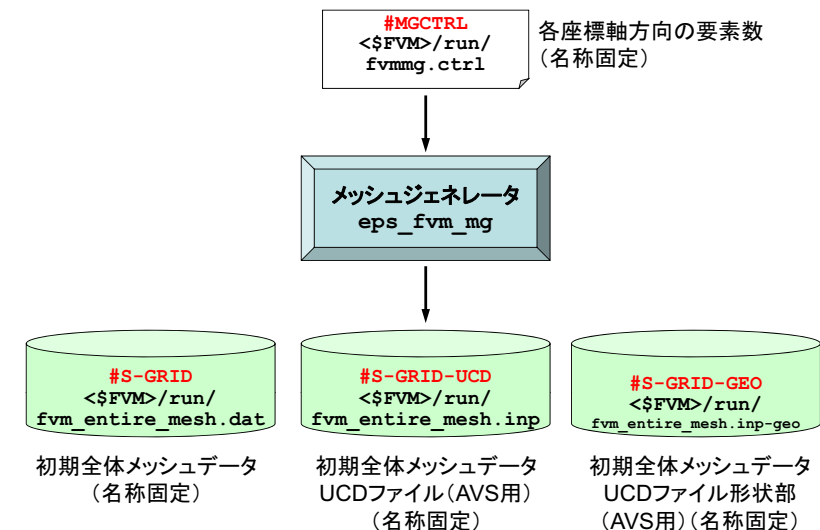
```
$> cd <$FVM>/run
$> cat fvmmg.ctrl
 2 2 3
$> eps_fvm_mg

$> ls fvm_entire*
 fvm_entire_mesh.dat
 fvm_entire_mesh.inp
 fvm_entire_mesh.inp_geo
```

・ 入力

- **fvmmg.ctrl**: 各座標軸方向の要素数 (NX,NY,NZ) **#MGCTRL**
 - この場合 $2 \times 2 \times 3 = 12$ 個の要素が生成される
- **fvm_entire_mesh.dat**: 初期全体メッシュデータ **#S-GRID**
- **fvm_entire_mesh.inp**: AVS表示用ファイル **#S-GRID-UCD**
 - メッシュ形状をmicroAVSで表示するためのファイル
- **fvm_entire_mesh.inp-geo**: AVS表示用形状ファイル **#S-GRID-GEO**

メッシュ生成: 専用ツール使用



初期全体メッシュデータ(例)(1/6)

http://nkl.cc.u-tokyo.ac.jp/tutorial/part_tutorial

```

12
1 1.000000E+00 1.000000E+00 5.000000E-01 5.000000E-01 5.000000E-01
2 1.000000E+00 1.000000E+00 1.500000E+00 5.000000E-01 5.000000E-01
3 1.000000E+00 1.000000E+00 5.000000E-01 1.500000E+00 5.000000E-01
4 1.000000E+00 1.000000E+00 1.500000E+00 1.500000E+00 5.000000E-01
5 1.000000E+00 1.000000E+00 5.000000E-01 5.000000E-01 1.500000E+00
6 1.000000E+00 1.000000E+00 1.500000E+00 5.000000E-01 1.500000E+00
7 1.000000E+00 1.000000E+00 1.500000E+00 5.000000E-01 1.500000E+00
8 1.000000E+00 1.000000E+00 1.500000E+00 5.000000E-01 1.500000E+00
9 1.000000E+00 1.000000E+00 5.000000E-01 5.000000E-01 2.500000E+00
10 1.000000E+00 1.000000E+00 1.500000E+00 5.000000E-01 2.500000E+00
11 1.000000E+00 1.000000E+00 5.000000E-01 1.500000E+00 2.500000E+00
12 1.000000E+00 1.000000E+00 1.500000E+00 2.500000E+00 2.500000E+00
20
1 2 1.000000E+00 5.000000E-01 5.000000E-01
1 3 1.000000E+00 5.000000E-01 5.000000E-01
1 4 1.000000E+00 5.000000E-01 5.000000E-01
2 6 1.000000E+00 5.000000E-01 5.000000E-01
3 4 1.000000E+00 5.000000E-01 5.000000E-01
3 5 1.000000E+00 5.000000E-01 5.000000E-01
4 8 1.000000E+00 5.000000E-01 5.000000E-01
5 6 1.000000E+00 5.000000E-01 5.000000E-01
5 7 1.000000E+00 5.000000E-01 5.000000E-01
5 8 1.000000E+00 5.000000E-01 5.000000E-01
6 10 1.000000E+00 5.000000E-01 5.000000E-01
6 11 1.000000E+00 5.000000E-01 5.000000E-01
7 9 1.000000E+00 5.000000E-01 5.000000E-01
8 10 1.000000E+00 5.000000E-01 5.000000E-01
9 10 1.000000E+00 5.000000E-01 5.000000E-01
10 11 1.000000E+00 5.000000E-01 5.000000E-01
10 12 1.000000E+00 5.000000E-01 5.000000E-01
11 12 1.000000E+00 5.000000E-01 5.000000E-01
12
2 1.000000E+00 5.000000E-01 0.000000E+00
4 1.000000E+00 5.000000E-01 0.000000E+00
6 1.000000E+00 5.000000E-01 0.000000E+00
8 1.000000E+00 5.000000E-01 0.000000E+00
10 1.000000E+00 5.000000E-01 0.000000E+00
12 1.000000E+00 5.000000E-01 0.000000E+00
6
1 1.000000E+00 1.000000E+00
1 1.000000E+00 1.000000E+00
3 1.000000E+00 1.000000E+00
5 1.000000E+00 1.000000E+00
7 1.000000E+00 1.000000E+00
9 1.000000E+00 1.000000E+00
11 1.000000E+00 1.000000E+00
13 1.000000E+00 1.000000E+00
14 1.000000E+00 1.000000E+00
15 1.000000E+00 1.000000E+00
16 1.000000E+00 1.000000E+00
17 1.000000E+00 1.000000E+00
18 1.000000E+00 1.000000E+00
19 1.000000E+00 1.000000E+00
20 1.000000E+00 1.000000E+00
4
5 1.000000E+00
6 1.000000E+00
7 1.000000E+00
8 1.000000E+00

```

各要素情報

要素間コネクティビティ
面に隣接する要素

ディイクリレ境界条件
温度固定

ノイマン境界条件
境界熱流束

体積発熱

変数表

変数名	型	配列サイズ	内容
NODE_tot	I	-	総要素数
NODE_VOL(:)	R	NODE_tot	要素体積
NODE_COND(:)	R	NODE_tot	要素熱伝導率
NODE_XYZ(:)	R	3*NODE_tot	要素重心座標(3次元)
CONN_tot	I	-	コネクティビティ総数
CONN_node(:)	I	2*CONN_tot	コネクティビティ構成要素
CONN_COEF(:)	R	CONN_tot	コネクティビティ係数
FIX_NODE_tot	I	-	ディイクリレ境界条件適用要素数
FIX_NODE_ID(:)	I	FIX_NODE_tot	ディイクリレ境界条件適用要素番号
FIX_NODE_COEF(:)	R	FIX_NODE_tot	ディイクリレ境界条件係数
FIX_NODE_VAL(:)	R	FIX_NODE_tot	ディイクリレ境界条件値
SURF_NODE_tot	I	-	ノイマン境界条件適用要素数
SURF_NODE_ID(:)	I	SURF_NODE_tot	ノイマン境界条件適用要素番号
SURF_NODE_FLUX(:)	R	SURF_NODE_tot	ノイマン境界条件フラックス
BODY_NODE_tot	I	-	体積発熱境界条件適用要素数
BODY_NODE_ID(:)	I	BODY_NODE_tot	体積発熱境界条件適用要素番号
BODY_NODE_FLUX(:)	R	BODY_NODE_tot	体積発熱境界条件フラックス

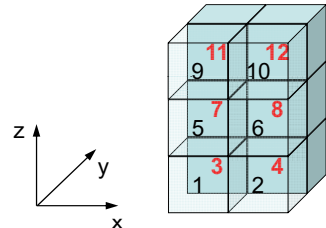
初期全体メッシュデータ(例)(2/6)

各要素

```

12 要素数: NODE_tot
1 1.000000E+00 1.000000E+00 5.000000E-01 5.000000E-01
2 1.000000E+00 1.000000E+00 1.500000E+00 5.000000E-01 5.000000E-01
3 1.000000E+00 1.000000E+00 5.000000E-01 1.500000E+00 5.000000E-01
4 1.000000E+00 1.000000E+00 1.500000E+00 1.500000E+00 5.000000E-01
5 1.000000E+00 1.000000E+00 5.000000E-01 5.000000E-01 1.500000E+00
6 1.000000E+00 1.000000E+00 1.500000E+00 5.000000E-01 1.500000E+00
7 1.000000E+00 1.000000E+00 5.000000E-01 5.000000E-01 1.500000E+00
8 1.000000E+00 1.000000E+00 1.500000E+00 5.000000E-01 1.500000E+00
9 1.000000E+00 1.000000E+00 5.000000E-01 2.500000E+00 5.000000E-01
10 1.000000E+00 1.000000E+00 1.500000E+00 5.000000E-01 2.500000E+00
11 1.000000E+00 1.000000E+00 5.000000E-01 1.500000E+00 2.500000E+00
12 1.000000E+00 1.000000E+00 1.500000E+00 2.500000E+00 2.500000E+00
20
要素番号 要素体積 要素熱伝導率 要素重心x座標 要素重心y座標 要素重心z座標
NODE_VOL(i) NODE_COND(i) NODE_XYZ(3*i-2) NODE_XYZ(3*i-1) NODE_XYZ(3*i)

```



```

read (IUNIT, '(10i10)' ) NODE_tot
do i= 1, NODE_tot
  read (IUNIT,'(i10,5e16.6)')
    ii, NODE_VOL(i), NODE_COND(i),
    (NODE_XYZ(3*i-3+k), k=1, 3)
  enddo

```

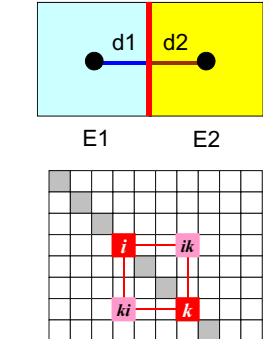
初期全体メッシュデータ(例)(3/6)

要素間コネクティビティ: ある面に接続する2要素

```

20 コネクティビティ総数: CONN_tot
1 2 1.000000E+00 5.000000E-01 5.000000E-01
1 3 1.000000E+00 5.000000E-01 5.000000E-01
1 5 1.000000E+00 5.000000E-01 5.000000E-01
2 4 1.000000E+00 5.000000E-01 5.000000E-01
2 6 1.000000E+00 5.000000E-01 5.000000E-01
3 4 1.000000E+00 5.000000E-01 5.000000E-01
3 7 1.000000E+00 5.000000E-01 5.000000E-01
4 8 1.000000E+00 5.000000E-01 5.000000E-01
5 6 1.000000E+00 5.000000E-01 5.000000E-01
5 7 1.000000E+00 5.000000E-01 5.000000E-01
5 9 1.000000E+00 5.000000E-01 5.000000E-01
6 8 1.000000E+00 5.000000E-01 5.000000E-01
6 10 1.000000E+00 5.000000E-01 5.000000E-01
7 8 1.000000E+00 5.000000E-01 5.000000E-01
7 11 1.000000E+00 5.000000E-01 5.000000E-01
8 12 1.000000E+00 5.000000E-01 5.000000E-01
9 10 1.000000E+00 5.000000E-01 5.000000E-01
9 11 1.000000E+00 5.000000E-01 5.000000E-01
10 12 1.000000E+00 5.000000E-01 5.000000E-01
11 12 1.000000E+00 5.000000E-01 5.000000E-01
E1 E2 S:要素境界面積 d1:E1重心～境界面距離 d2:E2重心～境界面距離
E1= CONN_NODE(2*i-1)
E2= CONN_NODE(2*i)

```



```

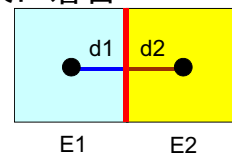
read (IUNIT, '(10i10)' ) CONN_tot
do i= 1, CONN_tot
  read (IUNIT,'( 2i10, 3e16.6)')
    (CONN_NODE(2*i-2+k), k= 1, 2),
    AREA_d1, d1, d2
  enddo

```

初期全体メッシュデータ(例)(3/6)

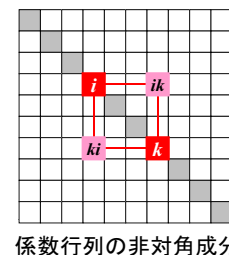
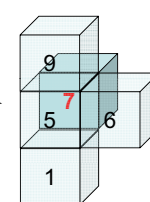
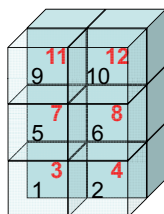
要素間コネクティビティ: 5番要素に着目

1	5	1.0E+00	5.0E-01	5.0E-01
5	6	1.0E+00	5.0E-01	5.0E-01
5	7	1.0E+00	5.0E-01	5.0E-01
5	9	1.0E+00	5.0E-01	5.0E-01
E1	E2	S:要素境界面積 d1:E1重心～ 境界面距離	d2:E2重心～ 境界面距離	



各要素は一辺の長さ1の立方体:

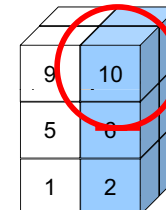
- 要素境界面積は $1 \times 1 = 1$
- 各要素重心から境界面までの距離は0.50



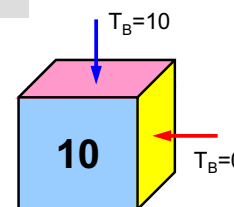
係数行列の非対角成分

1つの「要素」に複数のディリクレ境界条件を与えることも実は可能

7	ディリクレ境界条件を与える要素数: FIX_NODE_tot	
2	1.000000E+00	5.000000E-01
4	1.000000E+00	5.000000E-01
6	1.000000E+00	5.000000E-01
8	1.000000E+00	5.000000E-01
10	1.000000E+00	5.000000E-01
12	1.000000E+00	5.000000E-01
10	1.000000E+00	5.000000E-01
		1.000000E+01
要素番号	境界面面積S	境界面と要素重心距離d
FIX_NODE_ID(ib)		
FIX_NODE_VAL(ib)		



ある表面の温度を規定するだけであって、その要素の温度自体(要素中心)を規定するわけではない。「要素数」というよりは「面数」という方がより正確。

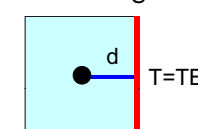
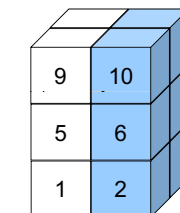


初期全体メッシュデータ(例)(4/6)

ディリクレ境界条件(表面温度固定)

6	ディリクレ境界条件を与える要素数: FIX_NODE_tot	
2	1.000000E+00	5.000000E-01
4	1.000000E+00	5.000000E-01
6	1.000000E+00	5.000000E-01
8	1.000000E+00	5.000000E-01
10	1.000000E+00	5.000000E-01
12	1.000000E+00	5.000000E-01
		0.000000E+00
要素番号	境界面面積S	境界面と要素重心距離d
FIX_NODE_ID(ib)		
FIX_NODE_VAL(ib)		

```
read (IUNIT, '(10i10)') FIX_NODE_tot
do i= 1, FIX_NODE_tot
  read (IUNIT, '(i10, 3e16.6)')
    FIX_NODE_ID(i), S, d,
    FIX_NODE_VAL(i)
  enddo
```

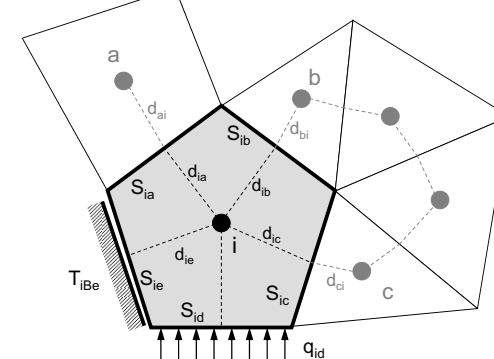


有限体積法による空間離散化 熱流束に関するつりあい式

隣接要素との熱伝導 温度固定境界

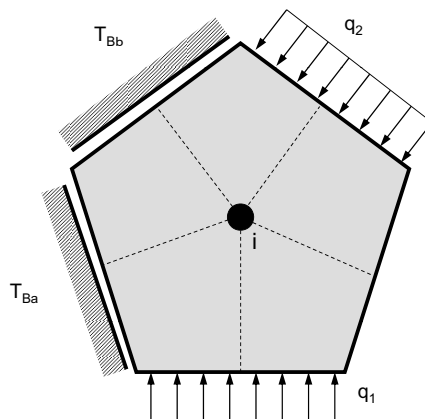
$$\sum_k \frac{S_{ik}}{d_{ik} + d_{ki}} (T_k - T_i) + \sum_e \frac{S_{ie}}{d_{ie}} (T_{ibe} - T_i) + \sum_d S_{id} q_{id} + V_i \dot{Q}_i = 0$$

要素界面 体積発熱
通過熱流束



- λ : 热伝導率
 V_i : 要素体積
 S : 表面面積
 d_{ij} : 要素中心から表面までの距離
 q : 表面フラックス
 Q : 体積発熱
 T_{ib} : 境界温度

各要素に適用できる境界条件の数に制限は無い



初期全体メッシュデータ(例)(5/6) ノイマン境界条件(表面熱フラックス: W/m²)

```

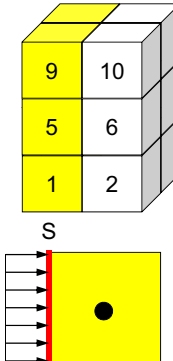
6 ノイマン境界条件を与える要素数: SURF_NODE_tot
1 1.000000E+00 1.000000E+00
3 1.000000E+00 1.000000E+00
5 1.000000E+00 1.000000E+00
7 1.000000E+00 1.000000E+00
9 1.000000E+00 1.000000E+00
11 1.000000E+00 1.000000E+00
要素番号 境界表面積S 表面フラックスQS
SURF_NODE_ID(ib)

```

```

read (IUNIT,'(10i10)') SURF_NODE_tot
do i= 1, SURF_NODE_tot
  read (IUNIT, '(i10, 3e16.6)')
    SURF_NODE_ID(i), S, QS
  enddo

```



1つの要素に複数のノイマン境界条件を適用することは可能(複数の面に異なった熱流束を与える)。

初期全体メッシュデータ(例)(6/6) 体積発熱(W/m³)

```

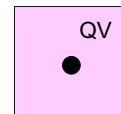
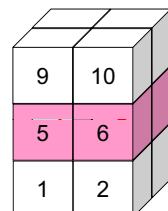
4 体積発熱を与える要素数
5 1.000000E+00
6 1.000000E+00
7 1.000000E+00
8 1.000000E+00
要素番号 体積フラックスQV

```

```

read (IUNIT,'(10i10)') BODY_NODE_tot
do i= 1, BODY_NODE_tot
  read (IUNIT, '(i10, 3e16.6)') icel, QV
  enddo

```

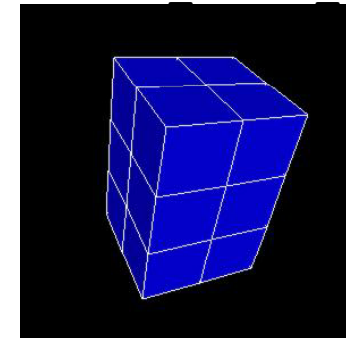


同じ要素に対して、複数回体積発熱を指定した場合には、一番最後に指定した値が適用される。

MicroAVSによる表示

#S-GRID-UCD:

<\$FVM>/run/fvm entire_mesh.inp



- AVS, microAVSのUCDファイルフォーマット(Unstructured Cell Data)を使用。
– <http://www.kgt.co.jp/>

MicroAVSの使用

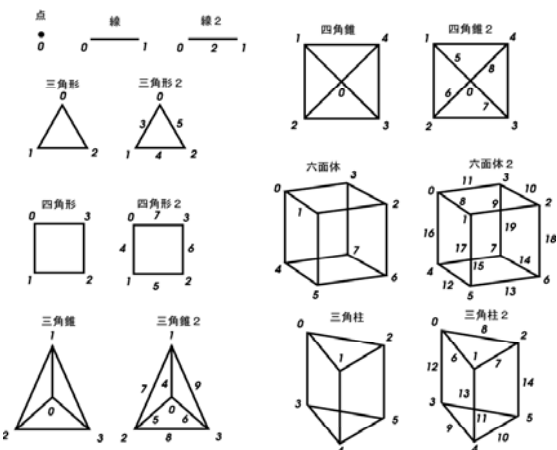
- 手順は以下

- <http://nkl.cc.u-tokyo.ac.jp/08s/mavs/>

UCDフォーマットについて(1/4)

MicroAVSで扱うことのできる要素形状

要素の種類	キーワード
点	pt
線	line
三角形	tri
四角形	quad
四面体	tet
角錐	pyr
三角柱	prism
六面体	hex
二次要素	
線2	line2
三角形2	tri2
四角形2	quad2
四面体2	tet2
角錐2	pyr2
三角柱2	prism2
六面体2	hex2



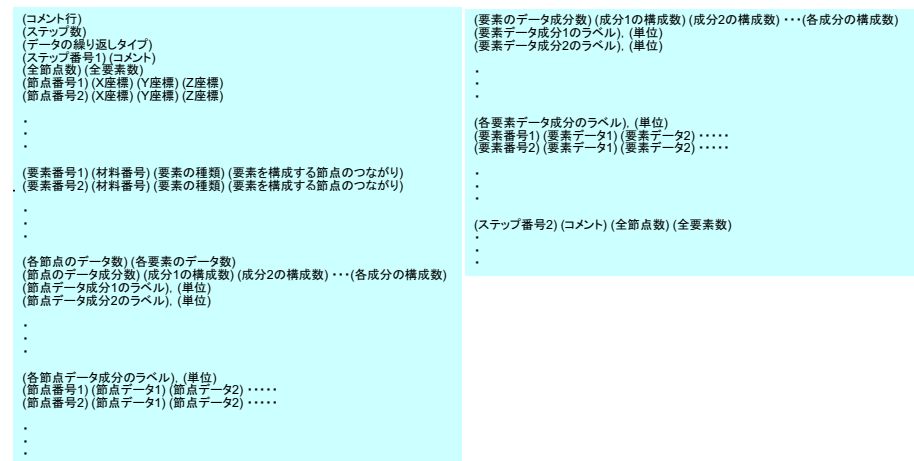
UCDフォーマットについて(2/4)

書式の概要

- ファイルの拡張子
 - データファイルの拡張子は “.inp”
- 書式
 - アスキーファイル
 - 時系列(複数ステップ)に対応したものが標準フォーマット
 - MicroAVS Ver.6.0(現在はVer.10.0)まで使用していた旧フォーマット(单一ステップデータのための書式)も読み込むことは可能
 - 実は一部これを使用している

UCDフォーマットについて(4/3)

書式の概要



UCDフォーマットについて(4/4)

旧フォーマット

```
(全節点数)(全要素数)(各節点のデータ数)(各要素のデータ数)(モデルのデータ数)
(要素番号1)(X座標)(Y座標)(Z座標)
(要素番号2)(X座標)(Y座標)(Z座標)

.
.

(要素番号1)(材料番号)(要素の種類)(要素を構成する節点のつながり)
(要素番号2)(材料番号)(要素の種類)(要素を構成する節点のつながり)

.
.

(節点のデータ成分数)(成分1の構成数)(成分2の構成数)…(各成分の構成数)
(節点データ成分1のラベル),(単位)
(節点データ成分2のラベル),(単位)

.
.

(各節点データ成分のラベル),(単位)
(節点番号1)(節点データ1)(節点データ2)……
(節点番号2)(節点データ1)(節点データ2)……

.
.
```

- 背景:並列プログラミングの学び方
- 有限体積法の概要
- 1CPU用プログラム **eps_fvm**
 - メッシュ生成、形状データ
 - **計算実行例**
 - プログラムの内容

UCDデータの例

```
#  
1  
data  
step1  
36 12  
1 0.0 0.0 0.0  
2 1.0 0.0 0.0  
3 2.0 0.0 0.0  
4 0.0 1.0 0.0  
5 1.0 1.0 0.0  
6 2.0 1.0 0.0  
...  
31 0.0 1.0 3.0  
32 1.0 1.0 3.0  
33 2.0 1.0 3.0  
34 0.0 2.0 3.0  
35 1.0 2.0 3.0  
36 2.0 2.0 3.0  
1 1 hex 1 2 5 4 10 11 14 13  
2 1 hex 2 3 6 5 11 12 15 14  
3 1 hex 4 5 8 7 13 14 17 16  
...  
10 1 hex 20 21 24 23 29 30 33 32  
11 1 hex 22 23 26 25 31 32 35 34  
12 1 hex 23 24 27 26 32 33 36 35  
0 1  
1 1  
Mesh,  
1 1.00  
2 1.00  
3 1.00  
4 1.00  
...  
10 1.00  
11 1.00  
12 1.00
```

新フォーマット

```
36 12 0 1 0  
1 0.0 0.0 0.0  
2 1.0 0.0 0.0  
3 2.0 0.0 0.0  
4 0.0 1.0 0.0  
5 1.0 1.0 0.0  
6 2.0 1.0 0.0  
...  
31 0.0 1.0 3.0  
32 1.0 1.0 3.0  
33 2.0 1.0 3.0  
34 0.0 2.0 3.0  
35 1.0 2.0 3.0  
36 2.0 2.0 3.0  
1 1 hex 1 2 5 4 10 11 14 13  
2 1 hex 2 3 6 5 11 12 15 14  
3 1 hex 4 5 8 7 13 14 17 16  
...  
10 1 hex 20 21 24 23 29 30 33 32  
11 1 hex 22 23 26 25 31 32 35 34  
12 1 hex 23 24 27 26 32 33 36 35  
1 1  
Mesh,  
1 1.00  
2 1.00  
3 1.00  
4 1.00  
...  
10 1.00  
11 1.00  
12 1.00
```

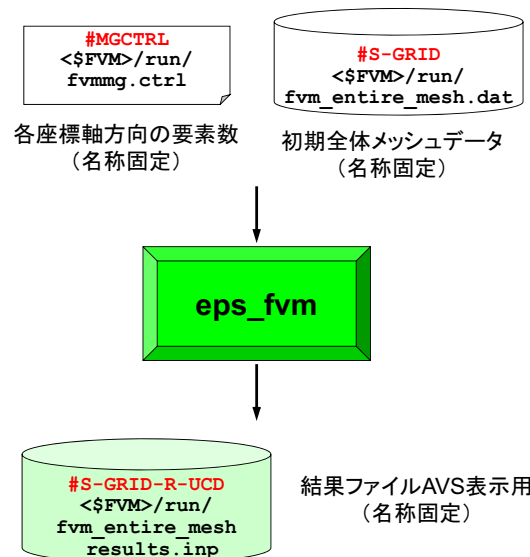
「eps_fvm」計算の実行

```
$> cd <$FVM>/serial
$> make
...
$> cd ../run
$> ls eps_fvm
    eps_fvm
$> ./eps_fvm
```

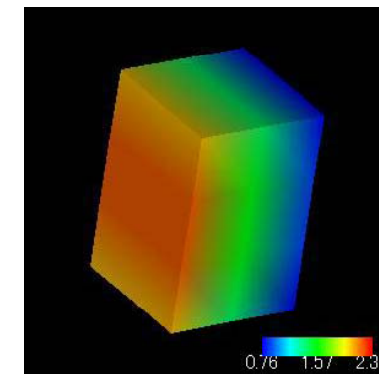
ロードモジュールの生成確認

- 実行形式 **eps_fvm**は<\$FVM>/runに生成される。
- 入力
 - <\$FVM>/run/fvmmg.ctrl #MGCTRL
 - <\$FVM>/run/fvm_entire_mesh.dat #S-GRID
 - ファイルを<\$FVM>/runに予め生成しておく必要がある。
- 出力
 - <\$FVM>/run/fvm_entire_mesh_results.inp(名称固定)
 - MicroAVS用結果出力 #S-GRID-R-UCD

シミュレーションコード:eps_fvm



計算結果



- 「`fvm_entire_mesh_results.inp`」をMicroAVSによって処理することができる。

- 背景:並列プログラミングの学び方
- 有限体積法の概要
- 1CPU用プログラム **eps_fvm**
 - メッシュ生成、形状データ
 - 計算実行例
 - プログラムの内容

プログラムの概要

```

$> cd <$FVM>/serial
$> cat eps_fvm.f          メインプログラム

program eps_fvm

use eps_fvm_all
implicit REAL*8 (A-H,O-Z)

call eps_fvm_input_grid
call poi_gen
call eps_fvm_solve

call output_ucd

end program eps_fvm
  
```

「eps_fvm」処理: メイン(1/2)

eps_fvm_all

```
program eps_fvm
use eps_fvm_all

implicit REAL*8 (A-H,O-Z)

call eps_fvm_input_grid
call poi_gen
call eps_fvm_solver
call output_ucd

end program eps_fvm
```

変数の内容について記載したモジュールブロック(コモンブロックのようなもの)。

詳細はチュートリアル参照

http://nkl.cc.u-tokyo.ac.jp/tutorial/eps_fvm_tutorial/

http://nkl.cc.u-tokyo.ac.jp/tutorial/eps_fvm_tutorial.tar

```
module eps_fvm_all
use eps_fvm_util
use eps_fvm_pcg
use appl_cntl
end module eps_fvm_all
```

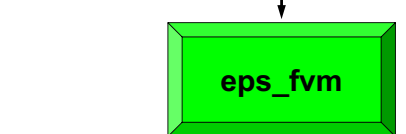
eps_fvm の処理

#MGCTRL
<\$FVM>/run/
fvmmmg.ctrl

各座標軸方向の要素数
(名称固定)

#S-GRID
<\$FVM>/run/
fvm_entire_mesh.dat

初期全体メッシュデータ
(名称固定)



結果ファイルAVS表示用
(名称固定)

「eps_fvm」処理: メイン(2/2)

その他

```
program eps_fvm
use eps_fvm_all

implicit REAL*8 (A-H,O-Z)

call eps_fvm_input_grid
call poi_gen
call eps_fvm_solver
call output_ucd

end program eps_fvm
```

メッセージ読み込み (#S-GRID)
マトリクス生成
線形ソルバー
AVS用結果ファイル書き出し (S-GRID-R-UCD)

```
program eps_fvm
use eps_fvm_all

implicit REAL*8 (A-H,O-Z)

call eps_fvm_input_grid
call poi_gen
call eps_fvm_solver
call output_ucd

end program eps_fvm
```

メッセージ読み込み (#S-GRID)
マトリクス生成
線形ソルバー
AVS用結果ファイル書き出し (S-GRID-R-UCD)

メッシュ関連変数(eps_fvm_util)

変数名	型	配列サイズ	内容
NODE_tot	I	-	要素数
NODE_VOL()	R	NODE_tot	要素体積
NODE_COND()	R	NODE_tot	要素熱伝導率
NODE_XYZ()	R	3*NODE_tot	要素重心座標(3次元)
CONN_tot	I	-	コネクティビティ総数
CONN_node()	I	2*CONN_tot	コネクティビティ構成要素
CONN_COEF()	R	CONN_tot	コネクティビティ係数
FIX_NODE_tot	I	-	ディリクレ境界条件適用要素数
FIX_NODE_ID()	I	FIX_NODE_tot	ディリクレ境界条件適用要素番号
FIX_NODE_COEF()	R	FIX_NODE_tot	ディリクレ境界条件係数
FIX_NODE_VAL()	R	FIX_NODE_tot	ディリクレ境界条件値
SURF_NODE_tot	I	-	ノイマン境界条件適用要素数
SURF_NODE_ID()	I	SURF_NODE_tot	ノイマン境界条件適用要素番号
SURF_NODE_FLUX()	R	SURF_NODE_tot	ノイマン境界条件フラックス
BODY_NODE_tot	I	-	体積発熱境界条件適用要素数
BODY_NODE_ID()	I	BODY_NODE_tot	体積発熱境界条件適用要素番号
BODY_NODE_FLUX()	R	BODY_NODE_tot	体積発熱境界条件フラックス

「eps_fvm」処理: メッシュ読み込み(1/5)

```

subroutine eps_fvm_input_grid
use hpcmw_eps_fvm_all
implicit REAL*8 (A-H,O-Z)

character(len=NAME_LEN) :: member
character(len=80) :: LINE

!C +-----+
!C | MESH INPUT |
!C +-----+
!C==

open (22, file='fvmmg.ctrl', status='unknown')
read (22,*) NX, NY, NZ
close (22)

IUNIT= 11
open (IUNIT,file= 'fvm_entire_mesh.dat', status='unknown')

!C
!C-- NODE
read (IUNIT, '(10i10)') NODE_tot

if (NODE_tot.ne.NX*NY*NZ) then
  write (*,'(a)') "inconsistent test.grid and test.mesh !!!"
  call hpcmw_eps_fvm_abort
endif

allocate (NODE_VOL(NODE_tot), NODE_COND(NODE_tot),
         & NODE_XYZ(3*NODE_tot))

do i= 1, NODE_tot
  read (IUNIT,'(i10,5e16.6)') ii, NODE_VOL(i), NODE_COND(i),
  & (NODE_XYZ(3*i-3+k), k=1, 3)
enddo

```

各座標軸方向の要素数、AVS出力用に必要

各要素情報の読み込み

NODE_tot:
総要素数

「eps_fvm」処理: メッシュ読み込み(1/5)

```

!C
!C-- NODE
read (IUNIT, '(10i10)') NODE_tot

if (NODE_tot.ne.NX*NY*NZ) then
  write (*,'(a)') "inconsistent test.grid and test.mesh !!!"
  call hpcmw_eps_fvm_abort
endif

allocate (NODE_VOL(NODE_tot), NODE_COND(NODE_tot),
         & NODE_XYZ(3*NODE_tot))

do i= 1, NODE_tot
  read (IUNIT,'(i10,5e16.6)') ii, NODE_VOL(i), NODE_COND(i),
  & (NODE_XYZ(3*i-3+k), k=1, 3)
enddo

```

要素数: NODE_tot				
1	1.000000E+00	1.000000E+00	5.000000E-01	5.000000E-01
2	1.000000E+00	1.000000E+00	1.500000E+00	5.000000E-01
3	1.000000E+00	1.000000E+00	5.000000E-01	1.500000E+00
4	1.000000E+00	1.000000E+00	1.500000E+00	5.000000E-01
5	1.000000E+00	1.000000E+00	5.000000E-01	5.000000E-01
6	1.000000E+00	1.000000E+00	1.500000E+00	5.000000E-01
7	1.000000E+00	1.000000E+00	5.000000E-01	1.500000E+00
8	1.000000E+00	1.000000E+00	1.500000E+00	1.500000E+00
9	1.000000E+00	1.000000E+00	5.000000E-01	5.000000E+00
10	1.000000E+00	1.000000E+00	1.500000E+00	5.000000E-01
11	1.000000E+00	1.000000E+00	5.000000E-01	1.500000E+00
12	1.000000E+00	1.000000E+00	1.500000E+00	2.500000E+00
要素番号	要素体積	要素熱伝導率	要素中心x座標	要素中心y座標
	NODE_VOL(i)	NODE_COND(i)	NODE_XYZ(3*i-2)	NODE_XYZ(3*i-1)
			NODE_XYZ(3*i)	

「eps_fvm」処理: メッシュ読み込み(2/5) コネクティビティ情報

```

!C
!C-- CONNECTION
read (IUNIT, '(10i10)') CONN_tot
allocate (CONN_NODE(2*CONN_tot), CONN_COEF(CONN_tot))
do i= 1, CONN_tot
  read (IUNIT,'( 2i10, 3e16.6)') in1, in2, AREA, D1, D2
  CONN_NODE(2*i-1)= in1
  CONN_NODE(2*i) = in2
  C1 = NODE_COND(in1)
  C2 = NODE_COND(in2)
  CONN_COEF(i)= AREA / ( D1/C1 + D2/C2 )
enddo

```

CONN_tot:
総コネクティビティ数

コネクティビティ総数: CONN_tot				
1	2	1.000000E+00	5.000000E-01	5.000000E-01
1	3	1.000000E+00	5.000000E-01	5.000000E-01
1	5	1.000000E+00	5.000000E-01	5.000000E-01
2	4	1.000000E+00	5.000000E-01	5.000000E-01
...				
6	10	1.000000E+00	5.000000E-01	5.000000E-01
7	8	1.000000E+00	5.000000E-01	5.000000E-01
7	11	1.000000E+00	5.000000E-01	5.000000E-01
8	12	1.000000E+00	5.000000E-01	5.000000E-01
9	10	1.000000E+00	5.000000E-01	5.000000E-01
9	11	1.000000E+00	5.000000E-01	5.000000E-01
10	12	1.000000E+00	5.000000E-01	5.000000E-01
11	12	1.000000E+00	5.000000E-01	5.000000E-01
E1	E2	S:要素界面積	d1:E1重心~	d2:E2重心~
			境界面距離	境界面距離
E1=	CONN_NODE(2*ic-1)			
E2=	CONN_NODE(2*ic)			

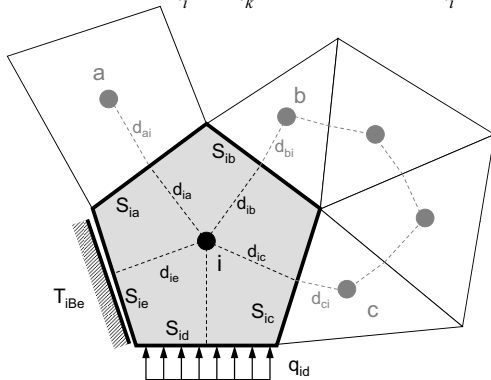
有限体積法による空間離散化

熱流束に関するつりあい式

隣接要素との熱伝導

温度固定境界

$$\sum_k \frac{S_{ik}}{\lambda_i + \lambda_k} (T_k - T_i) + \sum_e \frac{S_{ie}}{\lambda_i} (T_{iBe} - T_i) + \sum_d S_{id} q_{id} + V_i \dot{Q}_i = 0$$

要素界面 体積発熱
通過熱流束

λ : 热伝導率
 V_i : 要素体積
 S : 表面面積
 d_{ij} : 要素中心から表面までの距離
 q : 表面フラックス
 Q : 体積発熱
 T_{iB} : 境界温度

「eps_fvm」処理: メッシュ読み込み(2/5)

コネクティビティ情報

```

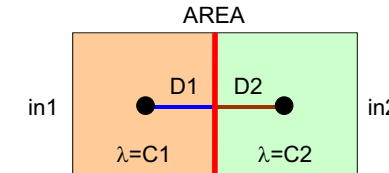
!C
!C-- CONNECTION
read (IUNIT,'(10i10)') CONN_tot
allocate (CONN_NODE(2*CONN_tot), CONN_COEF(CONN_tot))
do i=1,CONN_tot
  read (IUNIT,'(2i10, 3e16.6)') in1, in2, AREA, D1, D2
  CONN_NODE(2*i-1)= in1
  CONN_NODE(2*i)= in2
  C1 = NODE_COND(in1)
  C2 = NODE_COND(in2)
  CONN_COEF(i)= AREA / ( D1/C1 + D2/C2 )
enddo

```

CONN_tot:

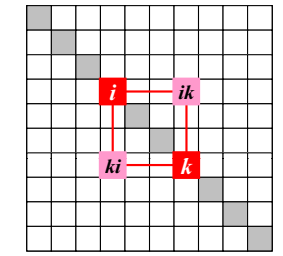
総コネクティビティ数
(これを2倍すると非対角成分総数)

非対角成分の計算を実施している



$$\sum_k \frac{S_{ik}}{\lambda_i + \lambda_k} (T_k - T_i) + \sum_e \frac{S_{ie}}{\lambda_i} (T_{iBe} - T_i) + \sum_d S_{id} q_{id} + V_i \dot{Q}_i = 0$$

CONN_COEF



係数行列の非対角成分

「eps_fvm」処理: メッシュ読み込み(3/5)

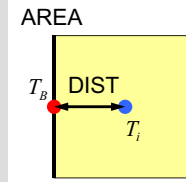
ディリクレ境界条件

```

!C
!C-- DIRICHLET
read (IUNIT,'(10i10)') FIX_NODE_tot
allocate (FIX_NODE_ID(FIX_NODE_tot), FIX_NODE_COEF(FIX_NODE_tot))
allocate (FIX_NODE_VAL(FIX_NODE_tot))

do i=1, FIX_NODE_tot
  read (IUNIT,'(i10, 3e16.6)')
  & FIX_NODE_ID(i), AREA, DIST, FIX_NODE_VAL(i): T_k
  icel= FIX_NODE_ID(i)
  COND= NODE_COND(icel)
  FIX_NODE_COEF(i)= AREA / (DIST/COND)
enddo

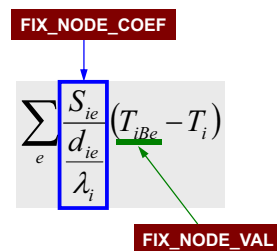
```



6 デリクレ境界条件を与える要素数: FIX_NODE_tot
1 1.000000E+00 5.000000E-01 0.000000E+00
2 1.000000E+00 5.000000E-01 0.000000E+00
3 1.000000E+00 5.000000E-01 0.000000E+00
4 1.000000E+00 5.000000E-01 0.000000E+00
5 1.000000E+00 5.000000E-01 0.000000E+00
6 1.000000E+00 5.000000E-01 0.000000E+00
7 1.000000E+00 5.000000E-01 0.000000E+00
8 1.000000E+00 5.000000E-01 0.000000E+00
9 1.000000E+00 5.000000E-01 0.000000E+00
10 1.000000E+00 5.000000E-01 0.000000E+00
11 1.000000E+00 5.000000E-01 0.000000E+00
12 1.000000E+00 5.000000E-01 0.000000E+00

要素番号 境界面積S 境界と要素重心距離d 境界値TB
FIX_NODE_ID(ib) FIX_NODE_VAL(ib)

$$\sum_k \frac{S_{ik}}{\lambda_i + \lambda_k} (T_k - T_i) + \sum_e \frac{S_{ie}}{\lambda_i} (T_{iBe} - T_i) + \sum_d S_{id} q_{id} + V_i \dot{Q}_i = 0$$



「eps_fvm」処理: メッシュ読み込み(4/5)

ノイマン境界条件

```

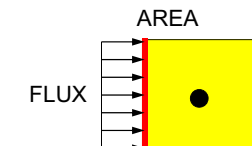
!C
!C-- NEUMANN
read (IUNIT,'(10i10)') SURF_NODE_tot
allocate
& (SURF_NODE_ID (SURF_NODE_tot), SURF_NODE_FLUX(SURF_NODE_tot))

do i=1, SURF_NODE_tot
  read (IUNIT,'(i10, 3e16.6)') SURF_NODE_ID(i), AREA, FLUX
  SURF_NODE_FLUX(i)= AREA*FLUX
enddo

```

6 ノイマン境界条件を与える要素数: SURF_NODE_tot
1 1.000000E+00 1.000000E+00
3 1.000000E+00 1.000000E+00
5 1.000000E+00 1.000000E+00
7 1.000000E+00 1.000000E+00
9 1.000000E+00 1.000000E+00
11 1.000000E+00 1.000000E+00

要素番号 境界面積S 表面フラックスQS
SURF_NODE_ID(ib)



$$\sum_k \frac{S_{ik}}{\lambda_i + \lambda_k} (T_k - T_i) + \sum_e \frac{S_{ie}}{\lambda_i} (T_{iBe} - T_i) + \sum_d S_{id} q_{id} + V_i \dot{Q}_i = 0$$

SURF_NODE_FLUX

「eps_fvm」処理: メッシュ読み込み(5/5) 体積発熱

```

!C
!C-- BODY_FLUX
read (IUNIT,'(10i10)') BODY_NODE_tot
allocate (BODY_NODE_FLUX(NODE_tot))
do i= 1, BODY_NODE_tot
  read (IUNIT,'(i10, 3e16, 6)') icel, FLUX
  BODY_NODE_FLUX(icel)= FLUX * NODE_VOL(icel)
enddo

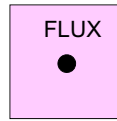
```

4 体積発熱を与える要素数
 5 1.000000E+00
 6 1.000000E+00
 7 1.000000E+00
 8 1.000000E+00

要素番号 体積フラックスQV

$$\sum_k \frac{S_{ik}}{\frac{d_{ik}}{\lambda_i} + \frac{d_{ki}}{\lambda_k}} (T_k - T_i) + \sum_e \frac{S_{ie}}{\frac{d_{ie}}{\lambda_i}} (T_{ibe} - T_i) + \sum_d S_{id} \dot{q}_{id} + V_i \dot{Q}_i = 0$$

BODY_NODE_FLUX



```

program eps_fvm
use eps_fvm_all

implicit REAL*8 (A-H,O-Z)

call eps_fvm_input_grid
call poi_gen
call eps_fvm_solver
call output_ucd

end program eps_fvm

```

メッシュ読み込み (#S-GRID)
 マトリクス生成
 線形ソルバー
 AVS用結果ファイル書き出し (S-GRID-R-UCD)

マトリクス関連変数表(eps_fvm_pcg)

変数名	型	サイズ	内容
NPLU	I	-	連立一次方程式係数マトリクス非対角成分総数
D(:)	R	NODE_tot	連立一次方程式係数マトリクス対角成分
PHI(:)	R	NODE_tot	連立一次方程式未知数ベクトル
BFORCE(:)	R	NODE_tot	連立一次方程式右辺ベクトル
index(:)	I	0:NODE_tot	係数マトリクス非対角成分要素番号用一次元圧縮配列(非対角成分数)
item(:)	I	NPLU	係数マトリクス非対角成分要素番号用一次元圧縮配列(非対角成分要素(列)番号)
AMAT(:)	R	NPLU	係数マトリクス非対角成分要素番号用一次元圧縮配列(非対角成分)

非零非対角成分のみを格納する
 Compressed Row Storage法を使用している。

行列ベクトル積への適用 (非零)非対角成分のみを格納, 疎行列向け方法 Compressed Row Storage (CRS)

D (i) 対角成分(実数, i=1, N)
 index(i) 非対角成分に関する一次元配列(通し番号)
 (整数, i=0, N)
 item(k) 非対角成分の要素(列)番号
 (整数, k=1, index(N))
 AMAT (k) 非対角成分
 (実数, k=1, index(N))

{Y} = [A] {X}

```

do i= 1, N
  Y(i)= D(i)*X(i)
  do k= index(i-1)+1, index(i)
    Y(i)= Y(i) + AMAT(k)*X(item(k))
  enddo
enddo

```

行列ベクトル積: 密行列 ⇒ とても簡単

$$\begin{bmatrix} a_{11} & a_{12} & \dots & a_{1,N-1} & a_{1,N} \\ a_{21} & a_{22} & & a_{2,N-1} & a_{2,N} \\ \dots & \dots & & \dots & \dots \\ a_{N-1,1} & a_{N-1,2} & & a_{N-1,N-1} & a_{N-1,N} \\ a_{N,1} & a_{N,2} & \dots & a_{N,N-1} & a_{N,N} \end{bmatrix} \begin{pmatrix} x_1 \\ x_2 \\ \vdots \\ x_{N-1} \\ x_N \end{pmatrix} = \begin{pmatrix} y_1 \\ y_2 \\ \vdots \\ y_{N-1} \\ y_N \end{pmatrix}$$

$$\{Y\} = [A] \{X\}$$

```
do j= 1, N
  Y(j)= 0. d0
  do i= 1, N
    Y(j)= Y(j) + A(i, j)*X(i)
  enddo
enddo
```

Compressed Row Storage (CRS)

	1	2	3	4	5	6	7	8
1	1.1 ①	2.4 ②			3.2 ⑤			
2	4.3 ①	3.6 ②		2.5 ④	3.7 ⑥		9.1 ⑧	
3		5.7 ③		1.5 ⑤		3.1 ⑦		
4		4.1 ②		9.8 ④	2.5 ⑤	2.7 ⑥		
5	3.1 ①	9.5 ②	10.4 ③		11.5 ⑤		4.3 ⑦	
6		6.5 ③			12.4 ⑥	9.5 ⑦		
7	6.4 ②	2.5 ③			1.4 ⑥	23.1 ⑦	13.1 ⑧	
8	9.5 ②	1.3 ③	9.6 ④		3.1 ⑥		51.3 ⑧	

Compressed Row Storage (CRS)

	1	2	3	4	5	6	7	8
1	1.1 ①	2.4 ②			3.2 ⑤			
2	4.3 ①	3.6 ②		2.5 ④	3.7 ⑥		9.1 ⑧	
3		5.7 ③		1.5 ⑤		3.1 ⑦		
4		4.1 ②		9.8 ④	2.5 ⑤	2.7 ⑥		
5	3.1 ①	9.5 ②	10.4 ③		11.5 ⑤		4.3 ⑦	
6		6.5 ③			12.4 ⑥	9.5 ⑦		
7	6.4 ②	2.5 ③			1.4 ⑥	23.1 ⑦	13.1 ⑧	
8	9.5 ②	1.3 ③	9.6 ④		3.1 ⑥		51.3 ⑧	

NODE_tot= 8

対角成分

D(1)= 1.1
D(2)= 3.6
D(3)= 5.7
D(4)= 9.8
D(5)= 11.5
D(6)= 12.4
D(7)= 23.1
D(8)= 51.3

Compressed Row Storage (CRS)

	1	2	3	4	5	6	7	8
1	1.1 ①		2.4 ②			3.2 ⑤		
2	3.6 ②	4.3 ①			2.5 ④	3.7 ⑥		9.1 ⑧
3	5.7 ③					1.5 ⑤	3.1 ⑦	
4	9.8 ④		4.1 ②			2.5 ⑤	2.7 ⑥	
5	11.5 ⑤	3.1 ①	9.5 ②	10.4 ③				4.3 ⑦
6	12.4 ⑥				6.5 ③			9.5 ⑦
7	23.1 ⑦		6.4 ②	2.5 ③			1.4 ⑥	13.1 ⑧
8	51.3 ⑧		9.5 ②	1.3 ③	9.6 ④		3.1 ⑥	

Compressed Row Storage (CRS)

	非対角成分数					
1	1.1 ①	2.4 ②	3.2 ⑤		2	index(0)= 0
2	3.6 ②	4.3 ①	2.5 ④	3.7 ⑥	9.1 ⑧	4 index(1)= 2
3	5.7 ③	1.5 ⑤	3.1 ⑦			2 index(2)= 6
4	9.8 ④	4.1 ②	2.5 ⑤	2.7 ⑥		3 index(3)= 8
5	11.5 ⑤	3.1 ①	9.5 ②	10.4 ③	4.3 ⑦	4 index(4)= 11
6	12.4 ⑥	6.5 ③	9.5 ⑦			2 index(5)= 15
7	23.1 ⑦	6.4 ②	2.5 ③	1.4 ⑥	13.1 ⑧	4 index(6)= 17
8	51.3 ⑧	9.5 ②	1.3 ③	9.6 ④	3.1 ⑥	4 index(7)= 21
						NPLU= 25 (=index(N))

index(i-1)+1~index(i)番目がi行目の非対角成分

Compressed Row Storage (CRS)

	非対角成分数					
1	1.1 ①	2.4 ②,1	3.2 ⑤,2		2	index(1)= 2
2	3.6 ②	4.3 ①,3	2.5 ④,4	3.7 ⑥,5	9.1 ⑧,6	4 index(2)= 6
3	5.7 ③	1.5 ⑤,7	3.1 ⑦,8			2 index(3)= 8
4	9.8 ④	4.1 ②,9	2.5 ⑤,10	2.7 ⑥,11		3 index(4)= 11
5	11.5 ⑤	3.1 ①,12	9.5 ②,13	10.4 ③,14	4.3 ⑦,15	4 index(5)= 15
6	12.4 ⑥	6.5 ③,16	9.5 ⑦,17			2 index(6)= 17
7	23.1 ⑦	6.4 ②,18	2.5 ③,19	1.4 ⑥,20	13.1 ⑧,21	4 index(7)= 21
8	51.3 ⑧	9.5 ②,22	1.3 ③,23	9.6 ④,24	3.1 ⑥,25	4 index(8)= 25
						NPLU= 25 (=index(N))

index(i-1)+1~index(i)番目がi行目の非対角成分

Compressed Row Storage (CRS)

1	1.1 ①	2.4 ②,1	3.2 ⑤,2			
2	3.6 ②	4.3 ①,3	2.5 ④,4	3.7 ⑥,5	9.1 ⑧,6	
3	5.7 ③	1.5 ⑤,7	3.1 ⑦,8			
4	9.8 ④	4.1 ②,9	2.5 ⑤,10	2.7 ⑥,11		
5	11.5 ⑤	3.1 ①,12	9.5 ②,13	10.4 ③,14	4.3 ⑦,15	
6	12.4 ⑥	6.5 ③,16	9.5 ⑦,17			
7	23.1 ⑦	6.4 ②,18	2.5 ③,19	1.4 ⑥,20	13.1 ⑧,21	
8	51.3 ⑧	9.5 ②,22	1.3 ③,23	9.6 ④,24	3.1 ⑥,25	

例:

item(7)= 5, AMAT(7)= 1.5
item(19)= 3, AMAT(19)= 2.5

Compressed Row Storage (CRS)

1	1.1 ①	2.4 ②,1	3.2 ⑤,2			
2	3.6 ②	4.3 ①,3	2.5 ④,4	3.7 ⑥,5	9.1 ⑧,6	
3	5.7 ③	1.5 ⑤,7	3.1 ⑦,8			
4	9.8 ④	4.1 ②,9	2.5 ⑤,10	2.7 ⑥,11		
5	11.5 ⑤	3.1 ①,12	9.5 ②,13	10.4 ③,14	4.3 ⑦,15	
6	12.4 ⑥	6.5 ③,16	9.5 ⑦,17			
7	23.1 ⑦	6.4 ②,18	2.5 ③,19	1.4 ⑥,20	13.1 ⑧,21	
8	51.3 ⑧	9.5 ②,22	1.3 ③,23	9.6 ④,24	3.1 ⑥,25	

D (i) 対角成分(実数, i=1,N)
index(i) 非対角成分数に関する一次元配列
(通し番号)(整数, i=0,N)
item(k) 非対角成分の要素(列)番号
(整数, k=1, index(N))
AMAT (k) 非対角成分
(実数, k=1, index(N))

[Y]= [A] {X}

```
do i= 1, N
    Y(i)= D(i)*X(i)
    do k= index(i-1)+1, index(i)
        Y(i)= Y(i) + AMAT(k)*X(item(k))
    enddo
enddo
```

「eps_fvm」処理: マトリクス生成(1/5)

```

!C
!C*** POI_GEN
!C*** 
!C
!C generate COEF. MATRIX for POISSON equations
!C
subroutine POI_GEN

use eps_fvm_all
implicit REAL*8 (A-H,O-Z)
integer, pointer :: IWKX(:,:)

!C +-----+
!C | INIT. |
!C +-----+
!C====

!C-- MATRIX
nn = NODE_tot

allocate (BFORCE(nn), D(nn), PHI(nn))
allocate (index(0:nn))

BFORCE= 0.d0
PHI= 0.d0
D= 0.d0

index= 0

```

「eps_fvm」処理: マトリクス生成(2/5)

```

!C
!C-- ETC.
allocate (IWKX(NODE_tot,6))
IWKX= 0

do ic= 1, CONN_tot
in1= CONN_NODE(2*ic-1)
in2= CONN_NODE(2*ic )

ik1= index(in1) + 1
IWKX (in1,ik1)= ic
index(in1 )= ik1

ik2= index(in2) + 1
IWKX (in2,ik2)= ic
index(in2 )= ik2
enddo

do i= 1, nn
index(i)= index(i-1) + index(i)
enddo

NPLU= index(nn)
allocate (item(NPLU), AMAT(NPLU))

```

(非零) 非対角成分数算出
(非零) 非対角成分抽出

index(in):
各要素の非対角成分数
(通し番号)

IWKX(in,1-6):
各要素の非対角成分の
コネクティビティID
(CONN_NODE)

非対角要素数を増やした場合は
IWKXのサイズを増やせばよい
(現在は隣接要素数が6までに限
定されている)

「eps_fvm」処理: マトリクス生成(2/5)

```

!C-- ETC.
allocate (IWKX(NODE_tot,6))
IWKX= 0

do ic= 1, CONN_tot
in1= CONN_NODE(2*ic-1)
in2= CONN_NODE(2*ic )

ik1= index(in1) + 1
IWKX (in1,ik1)= ic
index(in1 )= ik1

ik2= index(in2) + 1
IWKX (in2,ik2)= ic
index(in2 )= ik2
enddo

do i= 1, nn
index(i)= index(i-1) + index(i)
enddo

NPLU= index(nn)
allocate (item(NPLU), AMAT(NPLU))

```

index(in):
各要素の非対角成分数
(通し番号)

NPLU:
(非零) 非対角成分の総数

「eps_fvm」処理: マトリクス生成(3/5)

```

do i= 1, NODE_tot
do j= 1, index(i)-index(i-1)
k= index(i-1) + j

ic = IWKX(i,j)
in1= CONN_NODE(2*ic-1)
in2= CONN_NODE(2*ic )

if (in1.eq.i) then
item(k)= in2
else
item(k)= in1
endif
enddo
enddo

!C===
!C +-----+
!C | INTERIOR NODEs + BODY FLUX |
!C +-----+
!C===
do icel= 1, NODE_tot
BFORCE(icel)= BFORCE(icel) + BODY_NODE_FLUX(icel)
enddo

do i= 1, NODE_tot
do j= index(i-1)+1, index(i)
icon= IWKX(i,j-index(i-1))
AMAT(j)= -CONN_COEF(icon)
D (j)= D(j) + CONN_COEF(icon)
enddo
enddo
deallocate (IWKX)
!C===

```

item(k):
非対角成分(列番号)

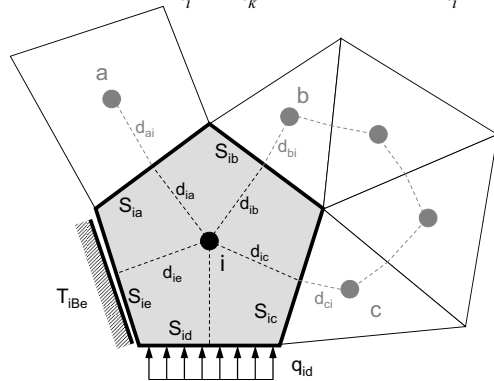
有限体積法による空間離散化

熱流束に関するつりあい式

隣接要素との熱伝導

温度固定境界

$$\sum_k \frac{S_{ik}}{\lambda_i} (T_k - T_i) + \sum_e \frac{S_{ie}}{\lambda_i} (T_{iBe} - T_i) + \sum_d S_{id} \dot{q}_{id} + V_i \dot{Q}_i = 0$$

要素界面 体積発熱
通過熱流束 λ : 热伝導率 V_i : 要素体積 S : 表面面積 d_{ij} : 要素中心から表面までの距離 q : 表面フラックス Q : 体積発熱 T_{iB} : 境界温度

全体マトリクスの生成

要素iに関する釣り合い

$$\sum_k \frac{S_{ik}}{\lambda_i} (T_k - T_i) + \sum_e \frac{S_{ie}}{\lambda_i} (T_{iBe} - T_i) + \sum_d S_{id} \dot{q}_{id} + V_i \dot{Q}_i = 0$$

隣接要素との熱伝導

温度固定境界

要素界面 体積
通過熱流束 発熱

全体マトリクスの生成

要素iに関する釣り合い

$$-\sum_k \frac{S_{ik}}{\lambda_i} (T_k - T_i) - \sum_e \frac{S_{ie}}{\lambda_i} (T_{iBe} - T_i) - \sum_d S_{id} \dot{q}_{id} - V_i \dot{Q}_i = 0$$

隣接要素との熱伝導

温度固定境界

要素界面 体積
通過熱流束 発熱

全体マトリクスの生成

要素iに関する釣り合い

$$-\sum_k \frac{S_{ik}}{\lambda_i} (T_k - T_i) - \sum_e \frac{S_{ie}}{\lambda_i} (T_{iBe} - T_i) - \sum_d S_{id} \dot{q}_{id} - V_i \dot{Q}_i = 0$$

$$-\sum_k \frac{S_{ik}}{\lambda_i} T_k + \sum_k \frac{S_{ik}}{\lambda_i} T_i - \sum_e \frac{S_{ie}}{\lambda_i} T_{iBe} + \sum_e \frac{S_{ie}}{\lambda_i} T_i = \sum_d S_{id} \dot{q}_{id} + V_i \dot{Q}_i$$

定数項: 右辺へ移項

全体マトリクスの生成

要素*i*に関する釣り合い

$$\begin{aligned}
 -\sum_k \frac{S_{ik}}{\lambda_i + \lambda_k} (T_k - T_i) - \sum_e \frac{S_{ie}}{\lambda_i} (T_{iBe} - T_i) - \sum_d S_{id} \dot{q}_{id} - V_i \dot{Q}_i &= 0 \\
 -\sum_k \frac{S_{ik}}{\lambda_i + \lambda_k} T_k + \sum_k \frac{S_{ik}}{\lambda_i + \lambda_k} T_i - \sum_e \frac{S_{ie}}{\lambda_i} T_{iBe} + \sum_e \frac{S_{ie}}{\lambda_i} T_i &= \sum_d S_{id} \dot{q}_{id} + V_i \dot{Q}_i
 \end{aligned}$$

$$\left[\sum_k \frac{S_{ik}}{\lambda_i + \lambda_k} + \sum_e \frac{S_{ie}}{\lambda_i} \right] T_i - \left[\sum_k \frac{S_{ik}}{\lambda_i + \lambda_k} T_k \right] = \sum_d S_{id} \dot{q}_{id} + V_i \dot{Q}_i + \sum_e \frac{S_{ie}}{\lambda_i} T_{iBe}$$

D(対角成分)

AMAT(非対角成分)

BFORCE(右辺)

「eps_fvm」処理: マトリクス生成(3/5)

体積発熱

```

do i= 1, NODE_tot
  do j= 1, index(i)-index(i-1)
    k= index(i-1) + j
    ic = IWKX(i,j)
    in1= CONN_NODE(2*ic-1)
    in2= CONN_NODE(2*ic )
    if (in1.eq.i) then
      item(k)= in2
    else
      item(k)= in1
    endif
  enddo
enddo!C==

!C +-----+
!C | INTERIOR NODES + BODY FLUX |
!C +-----+
!C====

do icel= 1, NODE_tot
  BFORCE(icel)= BFORCE(icel) + BODY_NODE_FLUX(icel)
  enddo

  do i= 1, NODE_tot
    do j= index(i-1)+1, index(i)
      icon= IWKX(i,j-index(i-1))
      AMAT(j)= -CONN_COEF(icon)
      D (j)= D(i) + CONN_COEF(icon)
    enddo
  enddo
  deallocate (IWKX)
!C===

```

$$\begin{aligned}
 & \left[\sum_k \frac{S_{ik}}{\lambda_i + \lambda_k} + \sum_e \frac{S_{ie}}{\lambda_i} \right] T_i - \left[\sum_k \frac{S_{ik}}{\lambda_i + \lambda_k} T_k \right] \\
 &= \sum_d S_{id} \dot{q}_{id} + V_i \dot{Q}_i + \sum_e \frac{S_{ie}}{\lambda_i} T_{iBe} \quad \text{BFORCE(右辺)}
 \end{aligned}$$

BODY_NODE_FLUX

「eps_fvm」処理: マトリクス生成(3/5)

内部熱伝導

```

do i= 1, NODE_tot
  do j= 1, index(i)-index(i-1)
    k= index(i-1) + j
    ic = IWKX(i,j)
    in1= CONN_NODE(2*ic-1)
    in2= CONN_NODE(2*ic )
    if (in1.eq.i) then
      item(k)= in2
    else
      item(k)= in1
    endif
  enddo
enddo!C==

!C +-----+
!C | INTERIOR NODES + BODY FLUX |
!C +-----+
!C====

do icel= 1, NODE_tot
  BFORCE(icel)= BFORCE(icel) + BODY_NODE_FLUX(icel)
  enddo

  do i= 1, NODE_tot
    do j= index(i-1)+1, index(i)
      icon= IWKX(i,j-index(i-1))
      AMAT(j)= -CONN_COEF(icon)
      D (j)= D(i) + CONN_COEF(icon)
    enddo
  enddo
  deallocate (IWKX)
!C===

```

$$\begin{aligned}
 & \left[\sum_k \frac{S_{ik}}{\lambda_i + \lambda_k} + \sum_e \frac{S_{ie}}{\lambda_i} \right] T_i - \left[\sum_k \frac{S_{ik}}{\lambda_i + \lambda_k} T_k \right] \\
 & \quad \text{CONN_COEF} \quad \text{CONN_COEF} \\
 &= \sum_d S_{id} \dot{q}_{id} + V_i \dot{Q}_i + \sum_e \frac{S_{ie}}{\lambda_i} T_{iBe}
 \end{aligned}$$

「eps_fvm」処理: マトリクス生成(4/5)

ディリクレ境界条件(表面温度固定)

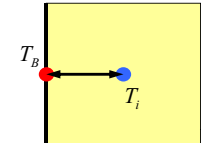
```

!C +-----+
!C | DIRICHLET |
!C +-----+
!C====

do i= 1, FIX_NODE_tot
  icel= FIX_NODE_ID(i)
  D (icel)= B (icel) + FIX_NODE_COEF(i)
  BFORCE(icel)= BFORCE(icel) + FIX_NODE_COEF(i)*FIX_NODE_VAL(i)
enddo
!C===

```

$$\begin{aligned}
 & \left[\sum_k \frac{S_{ik}}{\lambda_i + \lambda_k} + \sum_e \frac{S_{ie}}{\lambda_i} \right] T_i - \left[\sum_k \frac{S_{ik}}{\lambda_i + \lambda_k} T_k \right] \\
 & \quad \text{FIX_NODE_COEF} \\
 &= \sum_d S_{id} \dot{q}_{id} + V_i \dot{Q}_i + \sum_e \frac{S_{ie}}{\lambda_i} T_{iBe} \quad \text{BFORCE(右辺)} \\
 & \quad \text{FIX_NODE_COEF * FIX_NODE_VAL}
 \end{aligned}$$



「eps_fvm」処理: マトリクス生成(5/5) ノイマン境界条件(表面熱流束)

```

!C
!C +-----+
!C | SURFACE FLUX |
!C +-----+
!C===
    do i = 1, SURF_NODE_tot
        icel= SURF_NODE_ID(i)
        BFORCE(icel)= BFORCE(icel) + SURF_NODE_FLUX(i)
    enddo
!C===
    return
end

```

$$\begin{aligned}
 & \left[\sum_k \frac{S_{ik}}{\frac{d_{ik}}{\lambda_i} + \frac{d_{ki}}{\lambda_k}} + \sum_e \frac{S_{ie}}{\frac{d_{ie}}{\lambda_i}} \right] T_i - \left[\sum_k \frac{S_{ik}}{\frac{d_{ik}}{\lambda_i} + \frac{d_{ki}}{\lambda_k}} T_k \right] \\
 &= \sum_d S_{id} \dot{q}_{id} + V_i \dot{Q}_i + \sum_e \frac{S_{ie}}{\frac{d_{ie}}{\lambda_i}} T_{iBe} \quad \text{BFORCE(右辺)} \\
 & \quad \boxed{\text{SURF_NODE_FLUX}}
 \end{aligned}$$

```

program eps_fvm
use eps_fvm_all

implicit REAL*8 (A-H,O-Z)

call eps_fvm_input_grid
call poi_gen
call eps_fvm_solver
call output_ucd

end program eps_fvm

```

メッセージ読み込み (#S-GRID)
マトリクス生成
線形ソルバー
AVS用結果ファイル書き出し (S-GRID-R-UCD)

「eps_fvm」処理: ソルバー

```

subroutine eps_fvm_solver
use eps_fvm_all
implicit REAL*8 (A-H,O-Z)

EPS = 1.d-8
ITR = NODE_tot

call eps_fvm_solver CG
& ( NODE_tot, NPLU_D, BFORCE, PHI, EPS,
& ITR, IER, index, item, AMAT, COMMtime)
ISET= ISET + 1

open (11, file='fvmmg.ctrl', status='unknown')
read (11,*), NX, NY, NZ
close (11)

IS= NX*NY*NZ/2 + NX*NY/2
do i= IS+1, IS+NX
    write ('(*,(i8,3(1pe16.6)))', i, PHI(i))
enddo

end subroutine eps_fvm_solver

```

科学技術計算における 大規模線形方程式の解法

- 多くの科学技術計算は、最終的に大規模線形方程式 $Ax=b$ を解くことに帰着される。
 - important, expensive
- アプリケーションに応じて様々な手法が提案されている
 - 疎行列(sparse), 密行列(dense)
 - 直接法(direct), 反復法(iterative)
- 密行列(dense)
 - グローバルな相互作用:BEM, スペクトル法, MO, MD(気液)
- 疎行列(sparse)
 - ローカルな相互作用:FEM, FDM, MD(固), 高速多重極展開付 BEM

直接法(Direct Method)

- Gaussの消去法, 完全LU分解
 - 逆行列 A^{-1} を直接求める
- 利点
 - 安定, 幅広いアプリケーションに適用可能
 - Partial Pivoting
 - 疎行列, 密行列いずれにも適用可能
- 欠点
 - 反復法よりもメモリ, 計算時間を必要とする
 - 密行列の場合, $O(N^3)$ の計算量
 - 大規模な計算向けではない
 - $O(N^2)$ の記憶容量, $O(N^3)$ の計算量

反復法(Iterative Method)

- 定常(stationary)法
 - 反復計算中, 解ベクトル以外の変数は変化せず
 - SOR, Gauss-Seidel, Jacobiなど
 - 概して遅い
- 非定常(nonstationary)法
 - 拘束, 最適化条件が加わる
 - Krylov部分空間(subspace)への写像を基底として使用するため, Krylov部分空間法とも呼ばれる
 - CG(Conjugate Gradient: 共役勾配法)
 - BiCGSTAB(Bi-Conjugate Gradient Stabilized)
 - GMRES(Generalized Minimal Residual)

反復法(Iterative Method)(続き)

- 利点
 - 直接法と比較して, メモリ使用量, 計算量が少ない。
 - 並列計算には適している。
- 欠点
 - 収束性が, アプリケーション, 境界条件の影響を受けやすい。
 - 前処理(preconditioning)が重要。

代表的な反復法: 共役勾配法

- Conjugate Gradient法, 略して「CG」法
 - 最も代表的な「非定常」反復法
- 対称正定値行列(Symmetric Positive Definite: SPD)向け
 - 任意のベクトル $\{x\}$ に対して $\{x\}^T [A] \{x\} > 0$
 - 全対角成分 > 0 , 全固有値 > 0 , 全部分行列式 > 0 と同値
 - 熱伝導, 弹性, ねじり…本コードの場合もSPD
- アルゴリズム
 - 最急降下法(Steepest Descent Method)の変種
 - $\mathbf{x}^{(i)} = \mathbf{x}^{(i-1)} + \alpha_i \mathbf{p}^{(i)}$
 - $\mathbf{x}^{(i)}$: 反復解, $\mathbf{p}^{(i)}$: 探索ベクトル, α_i : 定数
 - 厳密解を y とするとき $\{\mathbf{x}-y\}^T [A] \{\mathbf{x}-y\}$ を最小とするような $\{\mathbf{x}\}$ を求める。
 - 詳細は参考文献[長谷川ら]参照

共役勾配法のアルゴリズム

```

Compute r(0)= b-[A]x(0)
for i= 1, 2, ...
z(i-1)= r(i-1)
ρi-1= r(i-1) z(i-1)
if i=1
    p(1)= z(0)
else
    βi-1= ρi-1/ρi-2
    p(i)= z(i-1) + βi-1 p(i-1)
endif
q(i)= [A]p(i)
αi = ρi-1/p(i) q(i)
x(i)= x(i-1) + αip(i)
r(i)= r(i-1) - αiq(i)
check convergence |r|
end

```

- 行列ベクトル積
- ベクトル内積
- ベクトル定数倍の加減

$x^{(i)}$:ベクトル
 α_i :スカラー

```

Compute r(0)= b-[A]x(0)
for i= 1, 2, ...
z(i-1)= r(i-1)
ρi-1= r(i-1) z(i-1)
if i=1
    p(1)= z(0)
else
    βi-1= ρi-1/ρi-2
    p(i)= z(i-1) + βi-1 p(i-1)
endif
q(i)= [A]p(i)
αi = ρi-1/p(i) q(i)
x(i)= x(i-1) + αip(i)
r(i)= r(i-1) - αiq(i)
check convergence |r|
end

```

- 行列ベクトル積
- ベクトル内積
- ベクトル定数倍の加減

$x^{(i)}$:ベクトル
 α_i :スカラー

共役勾配法のアルゴリズム

```

Compute r(0)= b-[A]x(0)
for i= 1, 2, ...
z(i-1)= r(i-1)
ρi-1= r(i-1) z(i-1)
if i=1
    p(1)= z(0)
else
    βi-1= ρi-1/ρi-2
    p(i)= z(i-1) + βi-1 p(i-1)
endif
q(i)= [A]p(i)
αi = ρi-1/ $\textcolor{red}{p^{(i)} q^{(i)}}$ 
x(i)= x(i-1) + αip(i)
r(i)= r(i-1) - αiq(i)
check convergence |r|
end

```

- 行列ベクトル積
- ベクトル内積
- ベクトル定数倍の加減

$x^{(i)}$:ベクトル
 α_i :スカラー

```

Compute r(0)= b-[A]x(0)
for i= 1, 2, ...
z(i-1)= r(i-1)
ρi-1= r(i-1) z(i-1)
if i=1
    p(1)= z(0)
else
    βi-1= ρi-1/ρi-2
    p(i)= z(i-1) + βi-1 p(i-1)
endif
q(i)= [A]p(i)
αi = ρi-1/p(i) q(i)
x(i)= x(i-1) + αip(i)
r(i)= r(i-1) - αiq(i)
check convergence |r|
end

```

- 行列ベクトル積
- ベクトル内積
- ベクトル定数倍の加減

$x^{(i)}$:ベクトル
 α_i :スカラー

前処理(preconditioning)とは?

- 反復法の収束は係数行列の固有値分布に依存
 - 固有値分布が少なく、かつ1に近いほど収束が早い(単位行列)
 - 条件数(condition number)(対称正定)=最大最小固有値比
 - 条件数が1に近いほど収束しやすい
- もとの係数行列 [A] に良く似た前処理行列 [M] を適用することによって固有値分布を改善する。
 - 前処理行列 [M] によって元の方程式 $[A]\{x\}=\{b\}$ を $[A']\{x'\}=\{b'\}$ へと変換する。ここで $[A']=[M]^{-1}[A]$, $\{b'\}=[M]^{-1}\{b\}$ である。
 - $[A']=[M]^{-1}[A]$ が単位行列に近ければ良い、ということになる。
- 「前処理」は密行列、疎行列ともに使用するが、普通は疎行列を対象にすることが多い。

前処理付き共役勾配法のアルゴリズム

```

Compute r(0)= b-[A]x(0)
for i= 1, 2, ...
  solve [M]z(i-1)= r(i-1)
  ρi-1= r(i-1) z(i-1)
  if i=1
    p(1)= z(0)
  else
    βi-1= ρi-1/ρi-2
    p(i)= z(i-1) + βi-1 p(i-1)
  endif
  q(i)= [A]p(i)
  αi= ρi-1/p(i)q(i)
  x(i)= x(i-1) + αip(i)
  r(i)= r(i-1) - αiq(i)
  check convergence |r|
end

```

前処理付共役勾配法

Preconditioned Conjugate Gradient Method (PCG)

```

Compute r(0)= b-[A]x(0)
for i= 1, 2, ...
  solve [M]z(i-1)= r(i-1)
  ρi-1= r(i-1) z(i-1)
  if i=1
    p(1)= z(0)
  else
    βi-1= ρi-1/ρi-2
    p(i)= z(i-1) + βi-1 z(i-1)
  endif
  q(i)= [A]p(i)
  αi= ρi-1/p(i)q(i)
  x(i)= x(i-1) + αip(i)
  r(i)= r(i-1) - αiq(i)
  check convergence |r|
end

```

実際にやるべき計算は:

$$\{z\} = [M]^{-1}\{r\}$$

「近似逆行列」の計算が必要:

$$[M]^{-1} \approx [A]^{-1}, \quad [M] \approx [A]$$

究極の前処理: 本当の逆行列

$$[M]^{-1} = [A]^{-1}, \quad [M] = [A]$$

対角スケーリング: 簡単=弱い

$$[M]^{-1} = [D]^{-1}, \quad [M] = [D]$$

ILU(0), IC(0)

最もよく使用されている前処理(疎行列用)

- 不完全LU分解

- Incomplete LU Factorization

- 不完全コレスキ一分解

- Incomplete Cholesky Factorization(対称行列)

不完全な直接法

- もとの行列が疎でも、逆行列は疎とは限らない。

- fill-in

- もとの行列と同じ非ゼロパターン(fill-in無し)を持っているのがILU(0), IC(0)

対角スケーリング, 点ヤコビ前処理

- 前処理行列として, もとの行列の対角成分のみを取り出した行列を前処理行列 [M] とする。
 - 対角スケーリング, 点ヤコビ(point-Jacobi)前処理

$$[M] = \begin{bmatrix} D_1 & 0 & \dots & 0 & 0 \\ 0 & D_2 & & 0 & 0 \\ \dots & & \dots & & \dots \\ 0 & 0 & & D_{N-1} & 0 \\ 0 & 0 & \dots & 0 & D_N \end{bmatrix}$$

- $\text{solve } [M] z^{(i-1)} = r^{(i-1)}$ という場合に逆行列を簡単に求めることができる。
- 簡単な問題では収束する。

「eps_fvm」処理: ソルバー(1/7)

```

!C
!C ***
!C *** CG
!C ***
!C
      subroutine eps_fvm_solver_CG
&          ( N, NPLU, D, B, X, EPS, ITR, IER,
&            index, item, COEF )
use eps_fvm_util
implicit REAL*8 (A-H,O-Z)
real(kind=kreal), dimension(N) :: D
real(kind=kreal), dimension(N) :: B
real(kind=kreal), dimension(N) :: X
integer , dimension(0:N) :: index
integer , dimension(NPLU):: item
real (kind=kreal), dimension(NPLU):: COEF
real(kind=kreal) :: EPS
integer :: ITR, IER
integer :: P, Q, R, Z, DD
real(kind=kreal), dimension(:,:), allocatable, save :: W

```

「eps_fvm」処理: ソルバー(2/7)

```

!C
!C +-----+
!C | INIT. |
!C +-----+
!C===
  if (.not.allocated(W)) then
    allocate (W(N,4))
  endif
  X= 0.d0
  W= 0.d0
  R = 1
  Z = 2
  Q = 2
  P = 3
  DD= 4
  do i= 1, N
    W(i,DD)= 1.0D0 / D(i)
  enddo
  W(i, 1)= W(i, R) => {r}
  W(i, 2)= W(i, Z) => {z}
  W(i, 2)= W(i, Q) => {q}
  W(i, 3)= W(i, P) => {p}
  W(i, 4)= W(i, DD) => 1/DIAG

```

```

Compute r^(0)= b-[A]x^(0)
for i= 1, 2, ...
  solve [M] z^(i-1)= r^(i-1)
  p_i-1= r^(i-1) z^(i-1)
  if i=1
    p^(1)= z^(0)
  else
    beta_i-1= rho_i-1/rho_i-2
    p^(i)= z^(i-1) + beta_i-1 p^(i-1)
  endif
  q^(i)= [A] p^(i)
  alpha_i = rho_i-1/p^(i) q^(i)
  x^(i)= x^(i-1) + alpha_i p^(i)
  r^(i)= r^(i-1) - alpha_i q^(i)
  check convergence |r|
end

```

```

!C
!C +-----+
!C | INIT. |
!C +-----+
!C===
  if (.not.allocated(W)) then
    allocate (W(NP,4))
  endif
  X= 0.d0
  W= 0.d0
  R = 1
  Z = 2
  Q = 2
  P = 3
  DD= 4
  do i= 1, N
    W(i,DD)= 1.0D0 / D(i)
  enddo
  IER = 0
  Tcomm= 0.d0
!C===

```

対角成分の逆数(前処理用)
その都度、除算をすると効率が悪いため、予め配列に格納

```

Compute r^(0)= b-[A]x^(0)
for i= 1, 2, ...
  solve [M] z^(i-1)= r^(i-1)
  p_i-1= r^(i-1) z^(i-1)
  if i=1
    p^(1)= z^(0)
  else
    beta_i-1= rho_i-1/rho_i-2
    p^(i)= z^(i-1) + beta_i-1 p^(i-1)
  endif
  q^(i)= [A] p^(i)
  alpha_i = rho_i-1/p^(i) q^(i)
  x^(i)= x^(i-1) + alpha_i p^(i)
  r^(i)= r^(i-1) - alpha_i q^(i)
  check convergence |r|
end

```

「eps_fvm」処理: ソルバー(3/7)

```

!C
!C +-----+
!C | {r0}= {b} - [A]{xini} |
!C +-----+
!C===
do i= 1, N
  W(i,R) = D(i)*X(i)
  do j= index(i-1)+1, index(i)
    W(i,R) = W(i,R) + COEF(j) * X(item(j))
  enddo
enddo

BNRM2= 0.0D0
do i= 1, N
  BNRM2= BNRM2 + B(i) **2
  W(i,R)= B(i) - W(i,R)
enddo
!C===

```

```

Compute r(0)= b-[A]x(0)
for i= 1, 2, ...
  solve [M] z(i-1)= r(i-1)
  pi-1= r(i-1) z(i-1)
  if i=1
    p(1)= z(0)
  else
    βi-1= pi-1/pi-2
    p(i)= z(i-1) + βi-1 p(i-1)
  endif
  q(i)= [A]p(i)
  αi = pi-1/p(i)q(i)
  x(i)= x(i-1) + αip(i)
  r(i)= r(i-1) - αiq(i)
  check convergence |r|
end

```

```

!C
!C +-----+
!C | {r0}= {b} - [A]{xini} |
!C +-----+
!C===
do i= 1, N
  W(i,P)= D(i)*X(i)
  do j= index(i-1)+1, index(i)
    W(i,P)= W(i,P) + COEF(j) * X(item(j))
  enddo
enddo

BNRM2= 0.0D0
do i= 1, N
  BNRM2= BNRM2 + B(i) **2
  W(i,R)= B(i) - W(i,R)
enddo
!C===

```

BNRM2=|b|^2
あとで収束判定に使用

```

Compute r(0)= b-[A]x(0)
for i= 1, 2, ...
  solve [M] z(i-1)= r(i-1)
  pi-1= r(i-1) z(i-1)
  if i=1
    p(1)= z(0)
  else
    βi-1= pi-1/pi-2
    p(i)= z(i-1) + βi-1 p(i-1)
  endif
  q(i)= [A]p(i)
  αi = pi-1/p(i)q(i)
  x(i)= x(i-1) + αip(i)
  r(i)= r(i-1) - αiq(i)
  check convergence |r|
end

```

「eps_fvm」処理: ソルバー(4/7)

```

!C*****
***** ITERATION
!C
!C do L= 1, ITR
!C +-----+
!C | {z}= [Minv]{r} |
!C +-----+
!C===
do i= 1, N
  W(i,Z)= W(i,DD) * W(i,R)
enddo
!C===
!C +-----+
!C | RHO= {r}{z} |
!C +-----+
!C===
RHO= 0.d0
do i= 1, N
  RHO= RHO + W(i,R)*W(i,Z)
enddo
!C===

```

```

Compute r(0)= b-[A]x(0)
for i= 1, 2, ...
  solve [M] z(i-1)= r(i-1)
  pi-1= r(i-1) z(i-1)
  if i=1
    p(1)= z(0)
  else
    βi-1= pi-1/pi-2
    p(i)= z(i-1) + βi-1 p(i-1)
  endif
  q(i)= [A]p(i)
  αi = pi-1/p(i)q(i)
  x(i)= x(i-1) + αip(i)
  r(i)= r(i-1) - αiq(i)
  check convergence |r|
end

```

```

!C
!C +-----+
!C | {p} = {z} if ITER=1 |
!C | BETA= RHO / RHO1 otherwise |
!C +-----+
!C===
  if ( L.eq.1 ) then
    do i= 1, N
      W(i,P)= W(i,Z)
    enddo
  else
    BETA= RHO / RHO1
    do i= 1, N
      W(i,P)= W(i,Z) + BETA*W(i,P)
    enddo
  endif
!C===
!C +-----+
!C | {q}= [A]{p} |
!C +-----+
!C===
  do i= 1, N
    W(i,Q)= D(i) * W(i,P)
    do j= index(i-1)+1, index(i)
      W(i,Q)= W(i,Q) + COEF(j) * W(item(j),P)
    enddo
  enddo
!C===

```

```

Compute r(0)= b-[A]x(0)
for i= 1, 2, ...
  solve [M] z(i-1)= r(i-1)
  pi-1= r(i-1) z(i-1)
  if i=1
    p(1)= z(0)
  else
    βi-1= pi-1/pi-2
    p(i)= z(i-1) + βi-1 p(i-1)
  endif
  q(i)= [A]p(i)
  αi = pi-1/p(i)q(i)
  x(i)= x(i-1) + αip(i)
  r(i)= r(i-1) - αiq(i)
  check convergence |r|
end

```

「eps_fvm」処理: ソルバー(6/7)

```

!C
!C +-----+
!C | ALPHA= RHO / {p}{q} |
!C +-----+
!C ====
    C1= 0.d0
    do i= 1, N
        C1= C1 + W(i,P)*W(i,Q)
    enddo
    ALPHA= RHO / C1
!C ====
!C +-----+
!C | {x}= {x} + ALPHA*{p} |
!C | {r}= {r} - ALPHA*{q} |
!C +-----+
!C ====
    do i= 1, N
        X(i) = X(i) + ALPHA * W(i,P)
        W(i,R)= W(i,R) - ALPHA * W(i,Q)
    enddo

```

```

Compute r^(0)= b-[A]x^(0)
for i= 1, 2, ...
    solve [M] z^(i-1)= r^(i-1)
    rho_i-1= r^(i-1) z^(i-1)
    if i=1
        p^(1)= z^(0)
    else
        beta_i-1= rho_i-1/rho_i-2
        p^(i)= z^(i-1) + beta_i-1 p^(i-1)
    endif
    q^(i)= [A]p^(i)
    alpha_i = rho_i-1/p^(i)q^(i)
    x^(i)= x^(i-1) + alpha_i p^(i)
    r^(i)= r^(i-1) - alpha_i q^(i)
    check convergence |r|
end

```

「eps_fvm」処理: ソルバー(7/7)

```

DNRM2 = 0.0
do i= 1, N
    DNRM2= DNRM2 + W(i,R)**2
enddo

RESID= dsqrt(DNRM2/DNRM2)

1000   if (my_rank.eq.0) write (*, 1000) L, RESID
        format (i5, 1pe16.6)
        if ( RESID.le.EPS) goto 900
        RHOL = RHO
        enddo
        IER = 1
900 continue
        ITR= L
        EPS= RESID
        return

        end subroutine hpcmw_eps_fvm_solver_CG

```

```

r= b-[A]x
DNRM2=|r|^2
BNRM2=|b|^2
RESID= |r|/|b|

```

```

Compute r^(0)= b-[A]x^(0)
for i= 1, 2, ...
    solve [M] z^(i-1)= r^(i-1)
    rho_i-1= r^(i-1) z^(i-1)
    if i=1
        p^(1)= z^(0)
    else
        beta_i-1= rho_i-1/rho_i-2
        p^(i)= z^(i-1) + beta_i-1 p^(i-1)
    endif
    q^(i)= [A]p^(i)
    alpha_i = rho_i-1/p^(i)q^(i)
    x^(i)= x^(i-1) + alpha_i p^(i)
    r^(i)= r^(i-1) - alpha_i q^(i)
    check convergence |r|
end

```

いろいろなメッシュでやってみよう

- MicroAVSの使い方に慣れる。